



INSTITUTO UNIVERSITARIO AERONAUTICO

CIRCUITOS DIGITALES 3

TRABAJO FINAL:

Control Remoto para transceptor VHF 20A

Autor:

Gutierrez, Agustín
Alberoni, Cristian

Profesores:

Ing. Lancioni, Walter
Dr. Ing. Laprovita, Agustín

Córdoba, 23 de julio de 2015



INSTITUTO UNIVERSITARIO AERONAUTICO

TRABAJO FINAL : Control Remoto para transceptor VHF 20A

Página 2 de 55

INDICE

1. OBJETIVOS	3
2. INTRODUCCION	3
2.1 Características generales del VHF 20A	3
2.2 Funcionamiento - entradas y salidas.....	4
3. DESARROLLO	7
3.1 ESPECIFICACIONES DE DISEÑO	7
3.2 HERRAMIENTAS DE SOFTWARE	7
3.3 MSP430G2553 y Placa LaunchPad MSP-EXP430G2	8
3.4 DISEÑO	9
3.4.1 Módulo – Fuente de alimentación	10
3.4.2 Módulo – Analógico I/O	10
3.4.3 Módulo – Digital I/O	12
3.4.3.1 Circuito esquemático módulo digital	13
3.4.3.2 Circuito esquemático módulo MSP430	16
3.4.4 Diseño de firmware	16
3.4.5 Diseño de gabinete.....	23
4. RESULTADOS	27
4.1 Módulo – Fuente de alimentación	27
4.2 Módulo – Analógico I/O	30
4.3 Módulo – Digital I/O	33
4.4 Módulo MSP430	36
4.5 Integración de módulos y gabinete.....	39
5. CONCLUSIONES	41
6. REFERENCIAS	42
7. ANEXO 1 – Firmware Msp430g2553	43
8. ANEXO 2 - Firmware Arduino	44



1. OBJETIVOS

El objetivo del presente trabajo final de la materia Circuitos Digitales 3 de la carrera Ingeniería en Electrónica, es diseñar y construir un control remoto para el equipo de comunicaciones Rockwell Collins VHF 20A (Ilustración) que se encuentra disponible en el laboratorio de comunicaciones aeronáuticas. El mismo deberá respetar los estándares de diseño del equipo transceptor detallado en el manual de mantenimiento del equipo.



Ilustración 1

2. INTRODUCCION

Se detallará la estructura de control del equipo de comunicaciones sin entrar a profundizar en su funcionamiento específico, ya que no es tema de este práctico mostrar el equipo de radio en sí, sino la forma de control del mismo.

2.1 Características generales del VHF 20A

.Este equipo presenta las siguientes características



INSTITUTO UNIVERSITARIO AERONAUTICO

TRABAJO FINAL : Control Remoto para transceptor VHF 20A

Página 4 de 55

Tabla 1

Weight:	5.6 lbs.	Dimensions:	3.750"W x 3.50"H x 13.9"L
Related documents:	DO-138, Env Category AD/A/JNG/AAAEXXXXX; TSO C37b and C38b, class 1, FCC rules and regulations, parts 15 and 87	Temperature:	-65 to +131 C
Altitude:	55000 ft. max.	Shock:	6 g for 11 ms, operating
Frequency Range:	118.000 to 135.975 MHz	Frequency stability:	+/-0.0015%
Channel Spacing:	25 kHz	Frequency control:	2-out-of-5, in accordance w/ ARINC 410
Channel change time:	Less than 50 ms	Transmit-receive interval:	Less than 50 ms
Radiated rfi:	Meets RTCA Paper DO-138, DO-109, DO-110	RF power output:	20 watts nominal; 16 watts minimum
Output impedance:	52 ohms, unbalanced	Harmonic Content:	60 dB down from carrier minimum
Spurious content:	90 dB from carrier minimum	Modulation capability:	90% amplitude modulation
Modulator input:	Carbon mic input 0.125 V adjustable, 150 ohms	Sidetone output:	100 milliwatts into 600 ohms with 90% modulation
Duty cycle:	1-minute transmit; 4-minute receive	Noise level:	50 dB below 85% modulation at 1000 Hz
Audio response:	6-dB variation from 300 to 2500 Hz	Audio distortion:	15% max, 85% modulation
Receiver Sensitivity:	6 dB (signal + noise)/noise for 3-uV signal; 30 dB (signal + noise)/noise for 100-uV signal	Receiver Selectivity:	6 db= +/-8 kHz min, 60 db= +/-17 kHz max (for -001 unit); 6db= +/-15 KHz min, 60 dB= +/-35 KHz min (for -002 unit)
AGC range:	Maximum 3-dB variation, 5 to 200,000 uV	Receiver audio output:	100 mW into 600 ohms, balanced
Receiver audio response:	6-dB variation from 300 to 2500 Hz, 1000-Hz reference	Receiver audio distortion:	7% max, 30% modulated signal

En la Tabla se pueden apreciar características marcadas de amarillo, indicando que el equipo de control debe adaptarlas para de esta forma poder usar tanto los micrófonos como los parlantes con los que se cuenta en el laboratorio.

2.2 Funcionamiento - entradas y salidas

Tal como muestra la Tabla, el control de frecuencia se realiza según la norma ARINC 410 la cual define el uso del "2 de 5". A continuación se muestran en detalles las tablas que describen el control del VHF 20A.



INSTITUTO UNIVERSITARIO AERONAUTICO

TRABAJO FINAL : Control Remoto para transceptor VHF 20A

Página 5 de 55

CHANNEL FREQUENCY		VHF-20A/20B MATING CONNECTOR PIN NO								
10-MHz	1-MHz	9(A)	24(B)	10(C)	25(D)	11(A)	23(B)	12(C)	13(D)	14(E)
X1X.XXX X2X.XXX X3X.XXX X4X.XXX X5X.XXX		Gnd Gnd	Gnd Gnd Gnd	Gnd Gnd Gnd	 Gnd Gnd					
	XX0.XXX XX1.XXX XX2.XXX XX3.XXX XX4.XXX XX5.XXX XX6.XXX XX7.XXX XX8.XXX XX9.XXX					Gnd Gnd	Gnd Gnd	Gnd Gnd		Gnd

CHANNEL FREQUENCY		VHF-20A/20B MATING CONNECTOR PIN NO							
0.1-MHz	0.01-MHz	15(A)	22(B)	16(C)	17(D)	18(E)	19(C)	20(D)	
XXX.0XX XXX.1XX XXX.2XX XXX.3XX XXX.4XX XXX.5XX XXX.6XX XXX.7XX XXX.8XX XXX.9XX		Gnd Gnd	Gnd Gnd Gnd	Gnd Gnd Gnd Gnd		Gnd			
	XXX.X00 XXX.X25 XXX.X50 XXX.X75	Gnd Gnd			Gnd Gnd	Gnd Gnd	Gnd Gnd		

En la Ilustración se puede ver el conector trasero que posee y en la tabla siguiente se muestra el pinout correspondiente, el cual se deberá respetar.



INSTITUTO UNIVERSITARIO AERONAUTICO

TRABAJO FINAL : Control Remoto para transceptor VHF 20A

Página 6 de 55

Función		DB-25	VHF
10 MHz	A	1	9
	B	2	24
	C	3	10
	D	4	25
1 MHz	A	5	11
	B	6	23
	C	7	12
	D	8	13
	E	9	14
0,1 MHz	A	10	15
	B	11	22
	C	12	16
	D	13	17
	E	14	18
0,01 MHz	C	15	19
	D	16	20
Masa comm free		17	3
		18	-
		19	-
		20	-
Audio H		21	5
Audio L		22	6
Squelch		23	4
Mic. Carbón		24	7
PTT		25	8



Ilustración 2



3. DESARROLLO

Para el desarrollo se partirá de las especificaciones de diseño fijadas y discutidas para que el equipo de control remoto pueda, luego de ser construido, cumplir con la mayoría de las funciones del control remoto comercial del transceptor.

Posteriormente se mostrará el esquema de diseño general de las partes que componen el sistema y seguido a esto se detallarán cada uno de los circuitos.

Finalmente se dedicará un punto aparte al desarrollo del firmware

3.1 ESPECIFICACIONES DE DISEÑO

A continuación se detallan las especificaciones de diseño requeridas:

- ARINC 410 (sintonía) 2 de 5
- Control de sintonía cada 25KHz
- Control On/Off
- Control Squelch
- Control de audio continuo
- Salida de Audio de 8Ohm
- Entrada Micrófono Electret
- Display para mostrar información
- Selector de frecuencia
- Alimentación según norma MIL-STD-704 28v
- Gabinete cerrado
- Informe técnico
- Manual de operaciones
- Manual de instalación
- Procedimiento de prueba
- Resultado de las pruebas

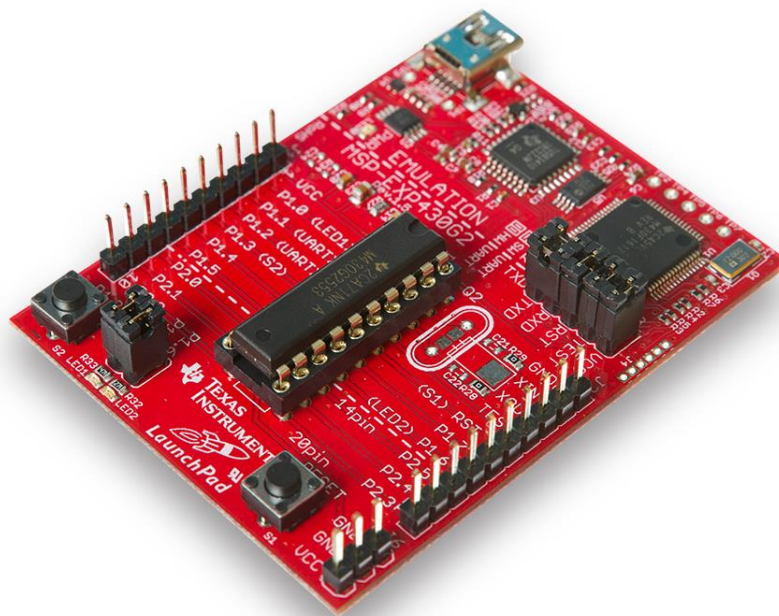
3.2 HERRAMIENTAS DE SOFTWARE

- Altium Designer 10
- Altium Designer 14
- Kicad
- SolidWorks 2013
- IAR Embedded Workbench for MSP430 IDE 5.60.7
- Multisim 11.0

- Doxygen

3.3 MSP430G2553 y Placa LaunchPad MSP-EXP430G2

En este proyecto se decidió utilizar el microcontrolador msp430g2553 por la cantidad de documentación disponible en la red y porque cumple con todos los requerimientos de memoria, procesamiento, puertos de entrada/salida necesarios. Para lo cual se decidió adquirir la placa LaunchPad MSP-EXP430G2 que cuenta con el microcontrolador anteriormente mencionado y con su programador/debugger por Spy-Bi-Wire, como se ve en la imagen.



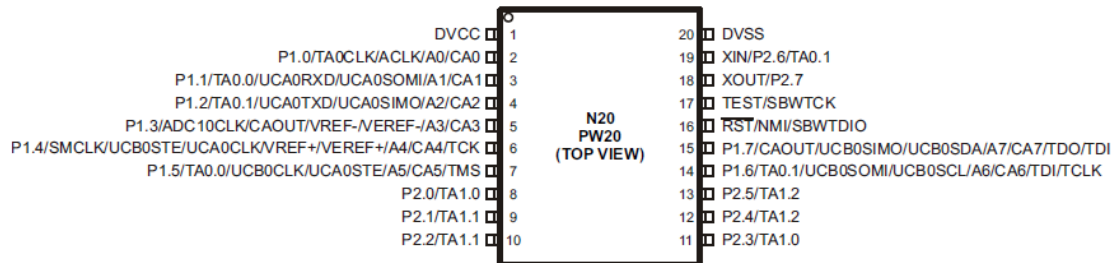
A continuación se describirá al microcontrolador:

El microcontrolador MSP430G2553 de Texas Instruments (Ver Figura), combina con los cinco modos de bajo consumo está optimizado para lograr la vida extendida de la batería en aplicaciones de mediciones portátiles.

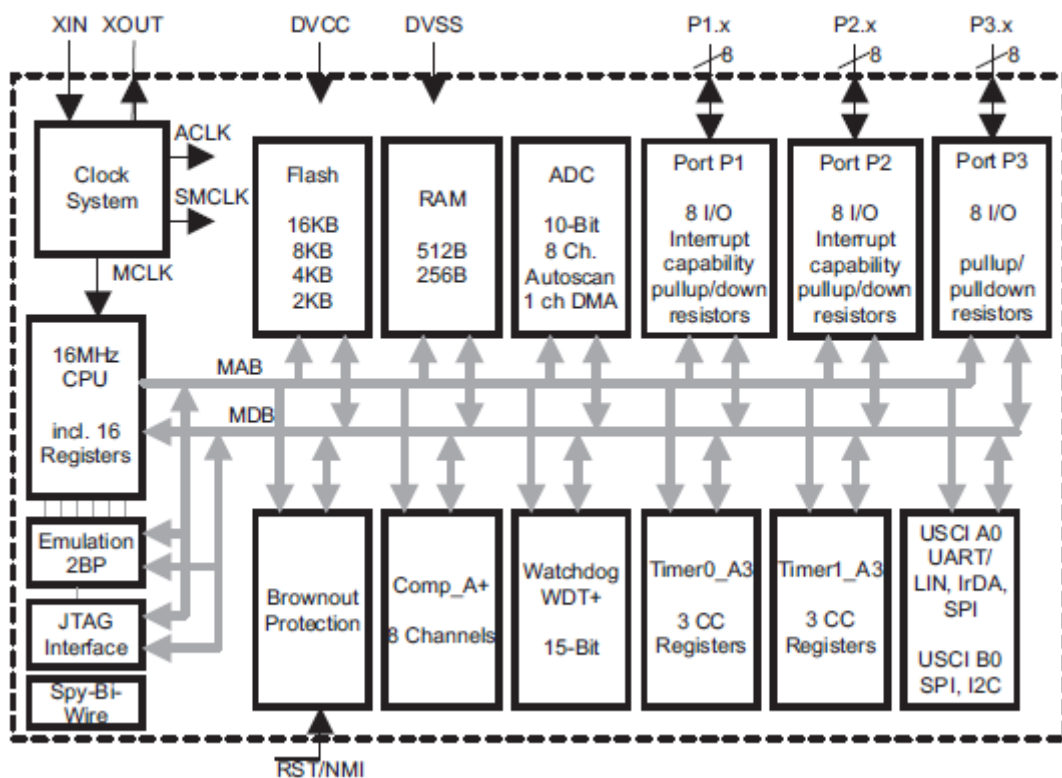
El dispositivo presenta un CPU de 16 bits RISC, registros de 16 bits y generadores constantes que contribuyen a la máxima eficiencia del código. La serie MSP430G2 contiene dos temporizadores integrados de 16 bits con 3 módulos de comparación y captura asociados a cada uno, una interfaz de comunicación serial universal, un conversor A/D de 10 bits con referencia integrada y 16 Puertos I/O, como se muestra en la figura.



Device Pinout, MSP430G2x13 and MSP430G2x53, 20-Pin Devices, TSSOP and PDIP

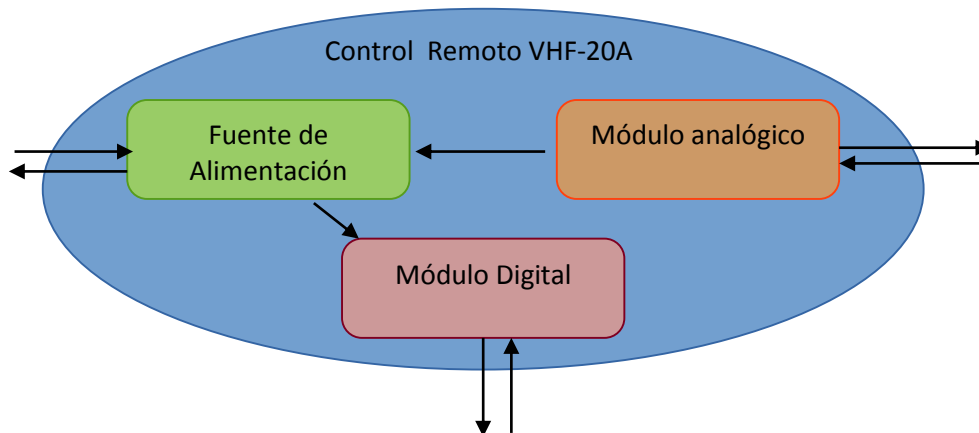


Functional Block Diagram, MSP430G2x53

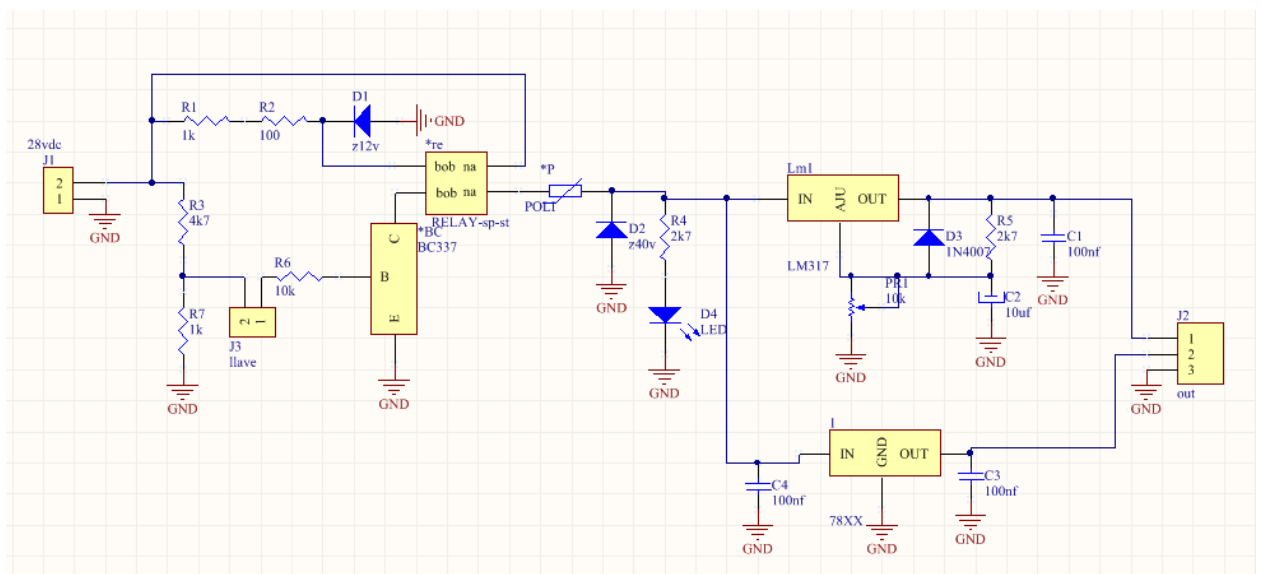


3.4 DISEÑO

El diseño del circuito se dividió en tres módulos tal como muestra la figura



3.4.1 Módulo – Fuente de alimentación



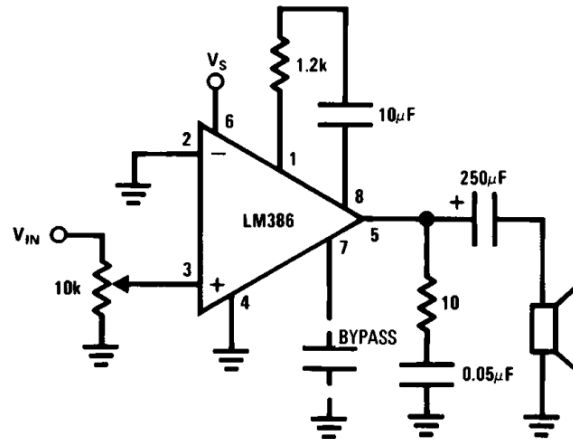
Circuito de fuente de alimentación

3.4.2 Módulo – Analógico I/O

Se amplificó las señales procedentes del VHF agregándoles un control de volumen, además se realizó una adaptación de impedancia para las señales de audio colocando alta impedancia en la entrada y a la salida del amplificador se presentan los 8Ω que se dirigirán a los audífonos.



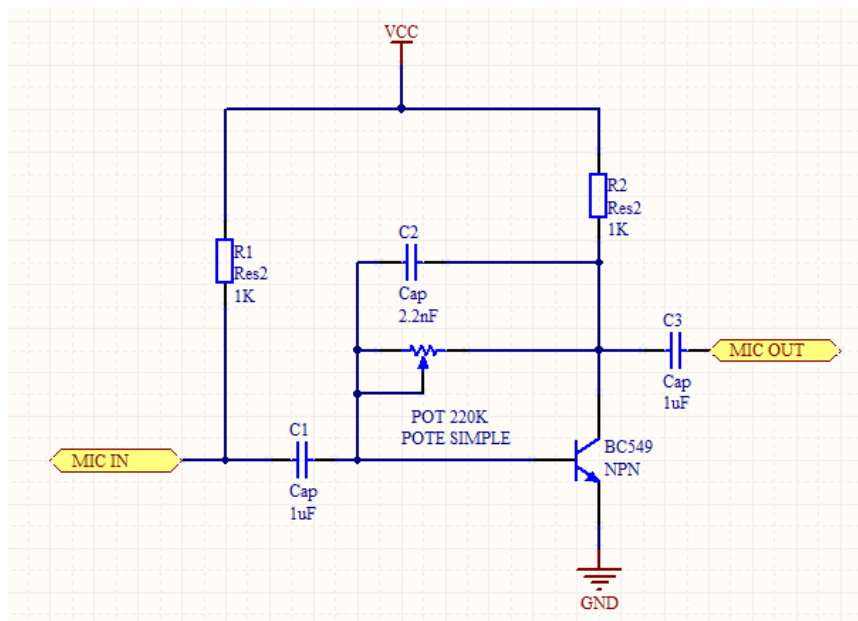
Amplifier with Gain = 50



Circuito amplificador de audio

Para realizar estos objetivos se utilizó el integrado LM386 el cual es un amplificador diseñado para utilizarse en aplicaciones de bajo consumo y logra brindar una potencia de 325 mW máxima. La configuración utilizada fue extraída de la hoja de datos del componente para obtener una ganancia de 50 veces.

Por otra parte se debía adaptar la entrada del VHF para el micrófono la cual estaba diseñada para que se utilicen micrófonos de carbón y no los de uso actual (Electret), para ello se utilizó el siguiente circuito.



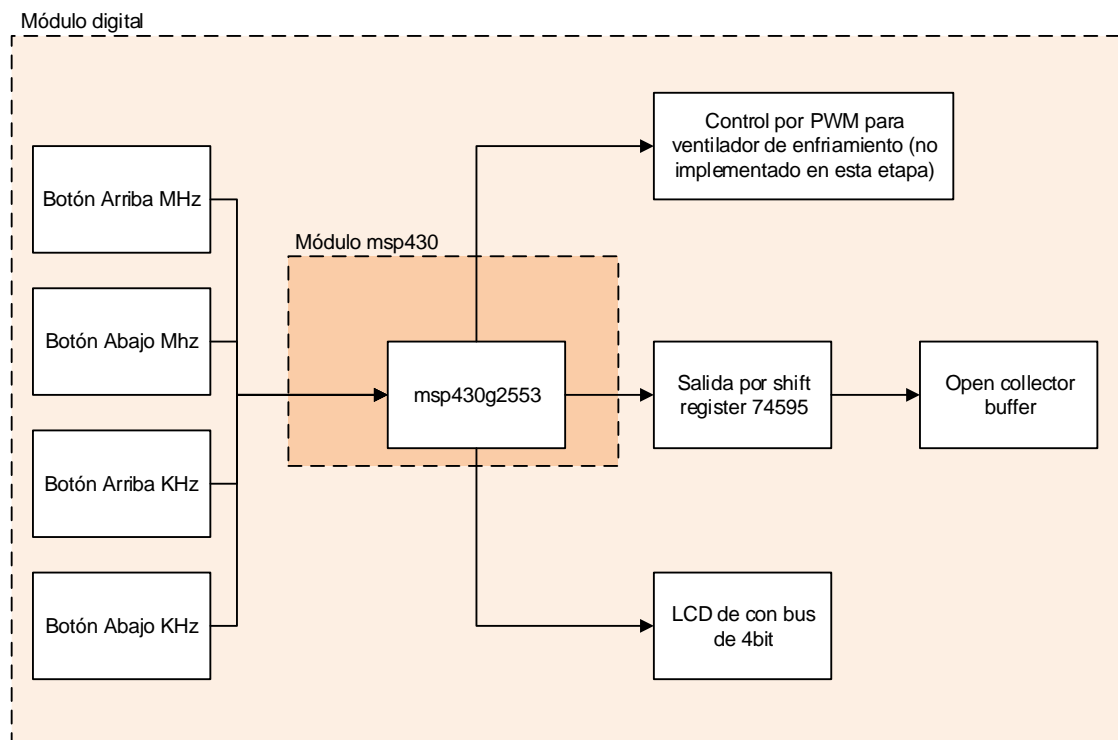
Circuito adaptador de micrófono

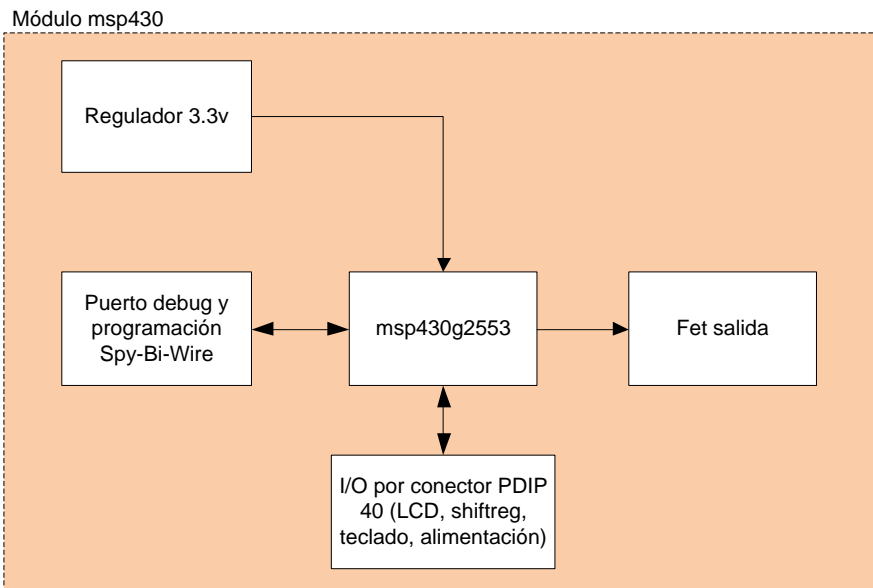


3.4.3 Módulo – Digital I/O

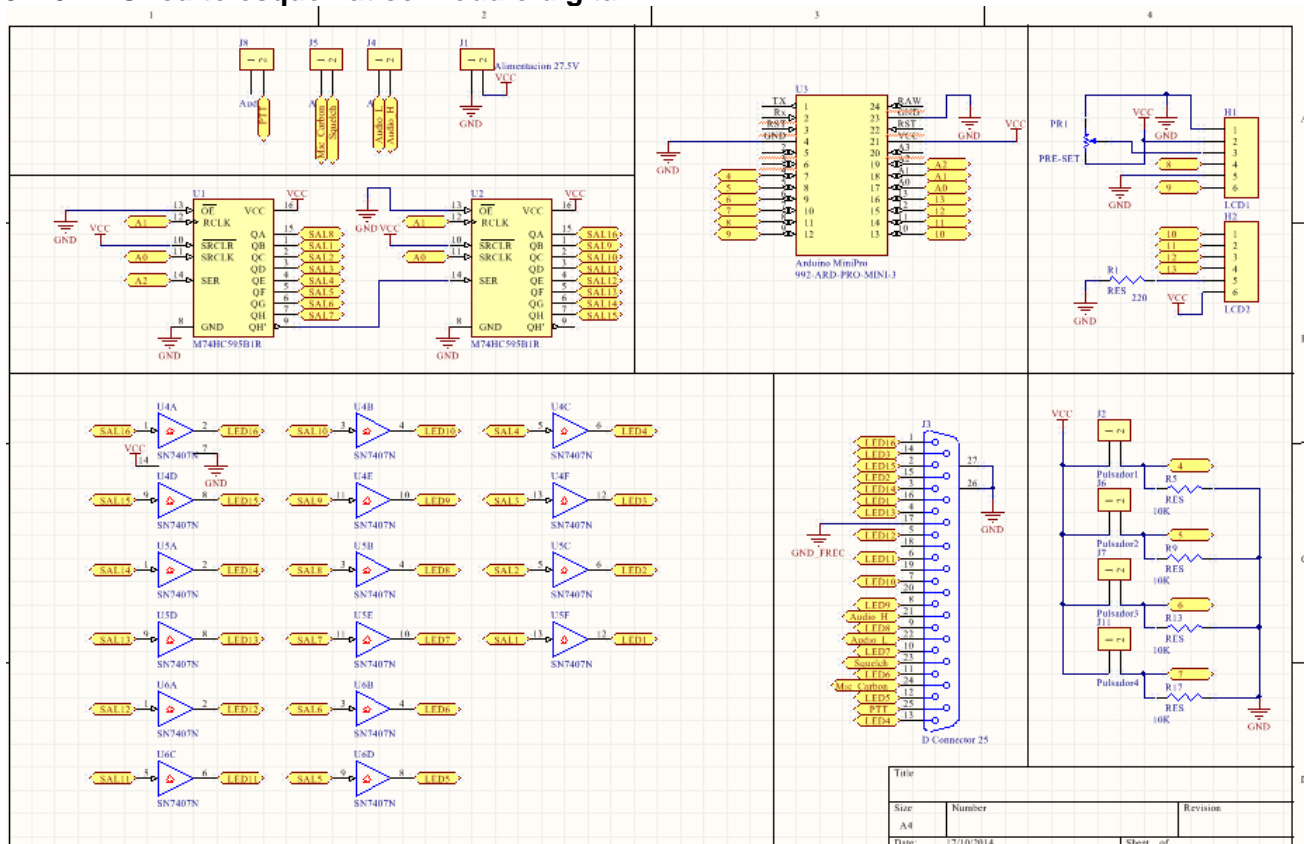
A continuación se muestra un circuito esquemático del módulo digital. Originalmente este circuito fue diseñado e implementado con un microcontrolador ATMEGA328 incluido en la placa Arduino Mini Pro (el cual también tiene el firmware necesario en ANEXO) para la selección de frecuencia y control de las salidas que realizan la codificación “2 de 5” según ARINC 410. A fin de cumplir con los requisitos de la materia y demostrar lo aprendido, se decidió cambiar el módulo de Arduino Mini Pro por uno de diseño propio que contenga a un microcontrolador MSP430 de Texas Instruments, específicamente se decidió colocar un msp430g2553.

Esquema de diseño





3.4.3.1 Circuito esquemático módulo digital



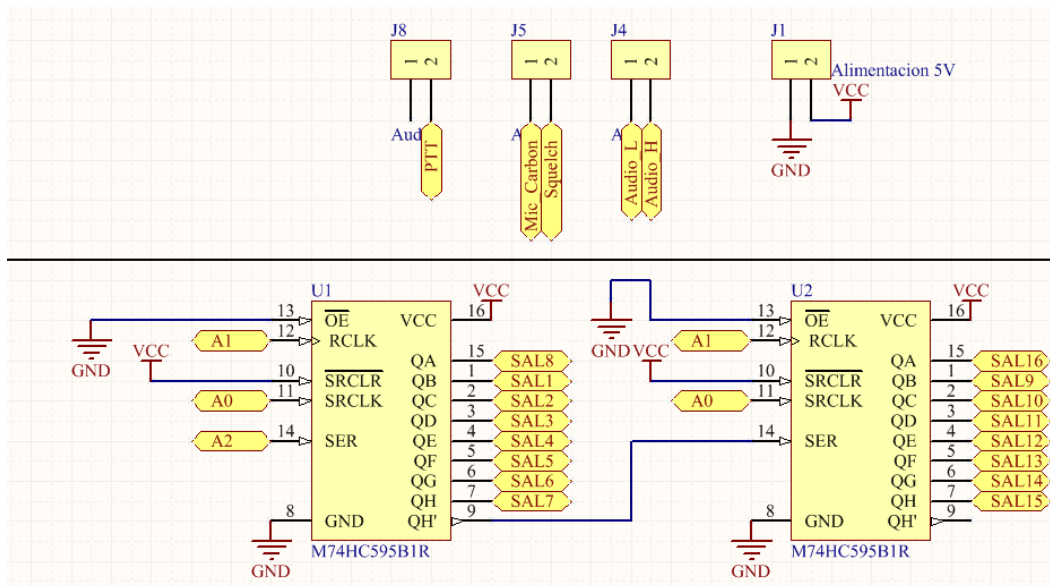


INSTITUTO UNIVERSITARIO AERONAUTICO

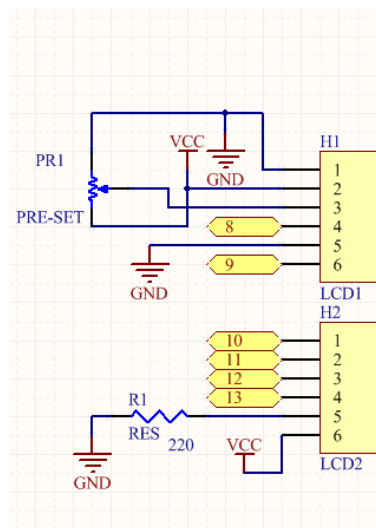
TRABAJO FINAL : Control Remoto para transceptor VHF 20A

Página 14 de 55

En este esquemático general se puede ver la placa Arduino mini pro, pero en realidad es solo el conector DIP40 que se usó como sócalo para ambas placas, de manera de poder intercambiarlas.



Circuito con 74HC595 para salidas



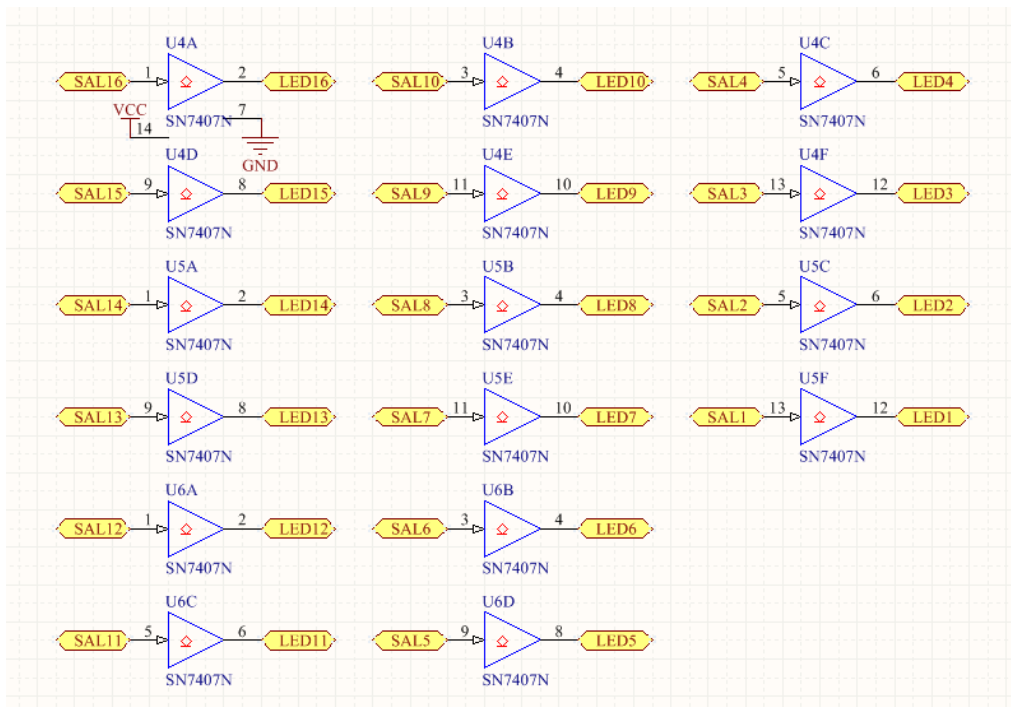
Circuito de salidas para LCD



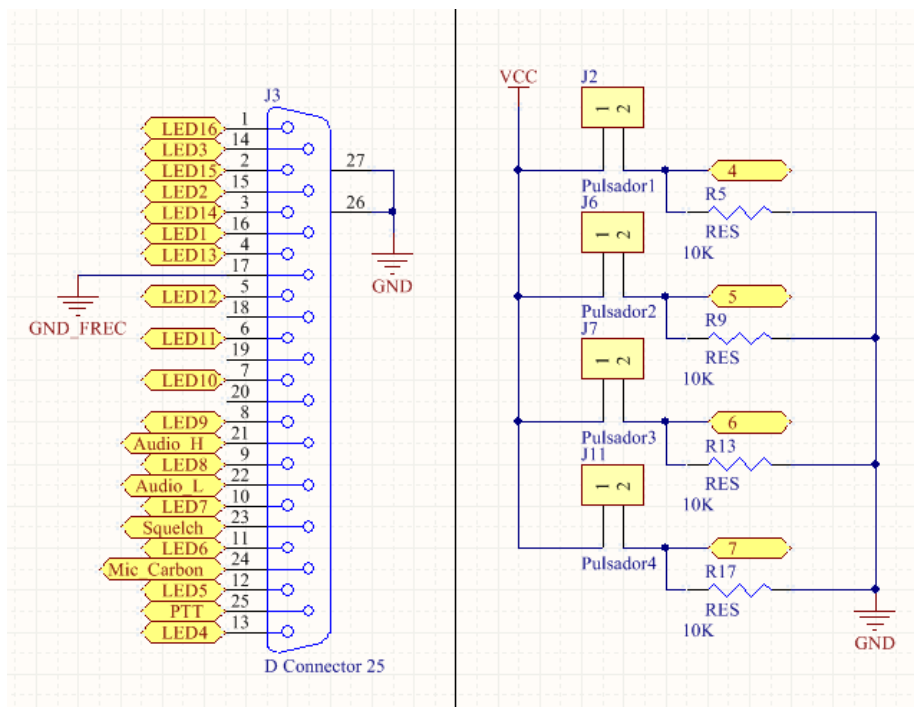
INSTITUTO UNIVERSITARIO AERONAUTICO

TRABAJO FINAL : Control Remoto para transceptor VHF 20A

Página 15 de 55

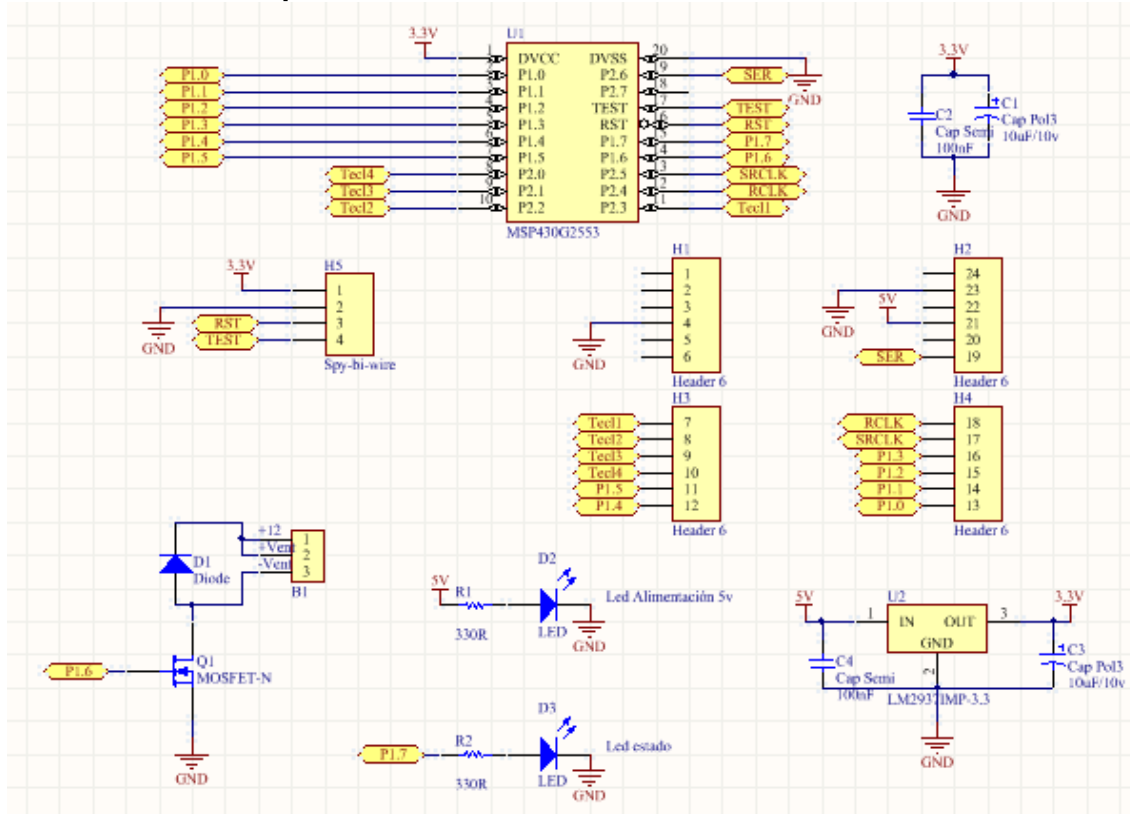


Circuito de Buffer Open Colector 74VLC07



Circuito de Conector de salida DB25 y circuito de pulsadores de entrada

3.4.3.2 Circuito esquemático módulo MSP430



3.4.4 Diseño de firmware

Funciones

El equipo debe poder operar en dos modos: Modo normal y modo de test

- Modo Normal: Iniciar por defecto en este modo. Se debe poder modificar la frecuencia mostrada en el display LCD de 16x1 y dar la correcta salida a esa frecuencia, a su vez debe indicar su estado a través de un led que "blinkea" cada cierto tiempo.
- Modo de test: Ingresa cuando son presionado los botones de arriba de MHz y arriba de KHz. Para salir de este modo se debe presionar el botón de debajo de KHz. Se debe poder ejecutar rutinas de prueba para las salidas digitales que cumplen con el procedimiento de ensayo del control remoto. A su vez el led de actividad debe aumentar la frecuencia de "blinqueo" para indicar que se está en este modo.



Implementación:

Se propuso como objetivo puramente académico, implementar el firmware usando otras técnicas distintas al procesamiento secuencial (bucle scan). En el proceso se analizaron las alternativas de “Primer plano/Segundo Plano” (Foreground / Background), Sistemas operativos en tiempo real cooperativos (RTOS cooperative) y Sistemas operativos en tiempo real expropiativos (RTOS preemptive) que aportan sus ventajas y desventajas con su respectiva complejidad de menor a mayor. Como resultado se decidió optar por un manejador de tareas cooperativo que tiene la ventaja de tener un manejador de tareas (scheduler) más sencillo que los RTOS expropiativos pero las tareas deben estar cuidadosamente programadas de manera que devuelvan el control del procesador al manejador.

Se decidió tomar un manejador de tareas llamado LMOS, realizado originalmente para los microcontroladores PIC de baja gama como son las familias 16f y 18f, ya que es muy pequeño y provee de las siguientes características:

- Inicialización y carga de tareas
- Demoras del tipo iddle wait
- Sincronización con semáforos con timeout
- Manejo de estados de tarea (destroyed, stopped, running, waiting y delayed)
- Recursos de gestión de tareas (cuanto se utiliza del micro, tiempo de uso por micro, etc)

Se realizó la adaptación de LMOS para que funcione en los microcontroladores de la familia MSP430 y posteriormente se escribieron las bibliotecas correspondientes al uso de los periféricos de proyecto como son display LCD, teclado, manejo de registros de desplazamiento y led de actividad.

El manejador de tareas LMOS cuenta con los siguientes métodos para el control del scheduler:

Control del scheduler:

- schedInit() : Maneja la inicialización del scheduler
- vTimerInit(10Mhz, 1000) : Inicializa y configura el reloj del sistema (reloj de sistema, tick del sistema)



- `intEnablePriority(ON)` : Habilitación de prioridades en las interrupciones
- `intLowEnable(ON)` : Habilitación de las interrupciones de baja prioridad
- `intHighEnable(ON)` : Habilitación de las interrupciones de alta prioridad
- `schedule()` : Método de contextualización

Control de la tarea:

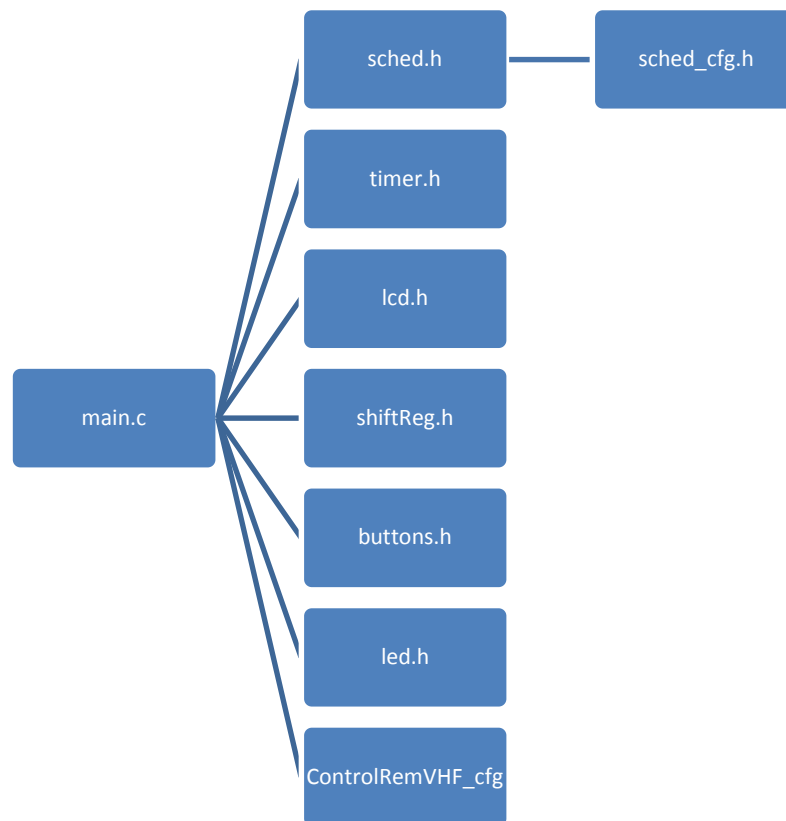
- `schedTaskCreate(vTask1, TCBP_TASK_1)` : Creación de una tarea (función `vTask1`) que utiliza el Task control block `TCBP_TASK_1`
- `schedTaskCurrDestroy()` : Destruir la tarea en curso (desde una tarea)
- `schedTaskDestroy(TCBP_TASK_1)` : Destruir la tarea `TCBP_TASK_1`
- `schedDelay(n)` : Dormir la tarea actual por `n` ticks de sistema
- `schedStep(ctx)` : Guardar el contexto actual antes de entregar el procesador al scheduler
- `schedGetDelay(TCBP_TASK_1)` : Consultar la demora actual de la tarea (tiempo antes de despertar)
- `schedGetCurrDelay()` : Consultar la demora de la tarea actual
- `schedTaskStop(TCBP_TASK_1)` : Detener la tarea `TCBP_TASK_1` por tiempo indefinido
- `schedTaskCurrStop()` : Detener la tarea actual por tiempo indefinido
- `schedTaskStart(TCBP_TASK_1)` : Arrancar tarea `TCBP_TASK_1`
- `schedTaskState(TCBP_TASK_1)` : Consultar el estado actual de una tarea

Comunicación entre tareas y el hardware:

- `schedSignalSemInt(EVENT1)` : Activar el semáforo `EVENT1` desde una interrupción
- `schedSignalSem(EVENT1)` : Activar un semáforo `EVENT1` desde una tarea
- `schedWait(TIMEOUT, EVENT1)` : Esperar al semáforo `EVENT1` hasta un máximo de `TIMEOUT` ticks
- `schedTry(EVENT1)` : Consumir (1) contabilizaciones del evento `EVENT1` sin perder el contexto si no tiene alguna.



Diagrama de organización de proyecto:

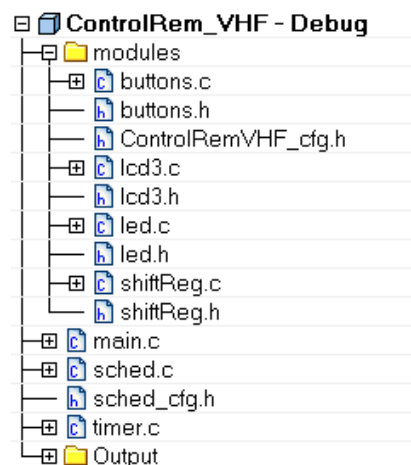


main.c: Contiene la implementación de la aplicación.

sched.h: Módulo del manejador (scheduler module) encargado de la contextualización del Sistema.

timer.h: Módulo encargado del manejo del tiempo (interrupción, ticks del Sistema)

sched_cfg.h: Contiene las definiciones para la configuración del Sistema





Configuración

En este archivo se configura:

- La cantidad máxima de tareas concurrentes (SCHED_TASK_MAX)
- La máxima cantidad de eventos a manejar simultáneamente (SCHED_EVENT_MAX)
- El tamaño de los registros para eventos contadores (SCHED_EVENT_SIZE)
- El tamaño de los registros para temporización (SCHED_DELAY_SIZE)
- El tamaño de los registros para la cantidad de contextos permitidos (SCHED_STEP_SIZE)
- Habilitación de reentrada (SCHED_REENTRY)
- Nivel de protección al scheduler (SCHED_PROTECT_LEVEL)
- Tamaño de los registros para las prioridades de las tareas (SCHED_PRIORITY_LEVELS)

Led.h: Biblioteca para manejo de led de actividad.

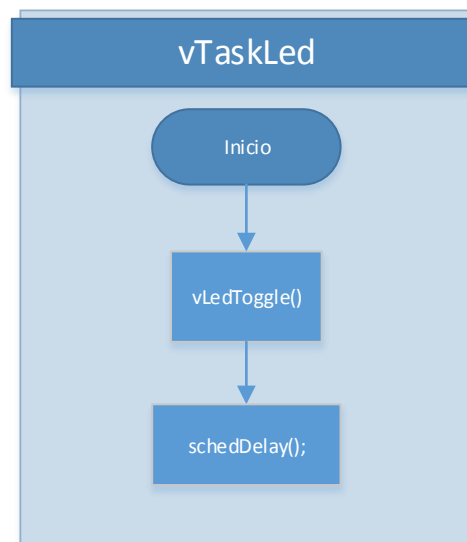
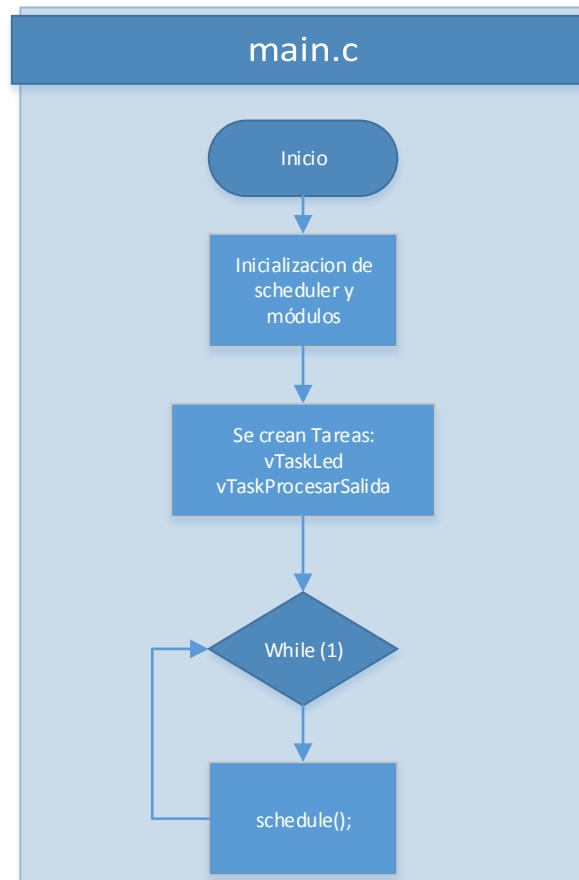
Lcd3.h: Biblioteca para el manejo del display LCD 16x1 y 16x2 caracteres alfanuméricos

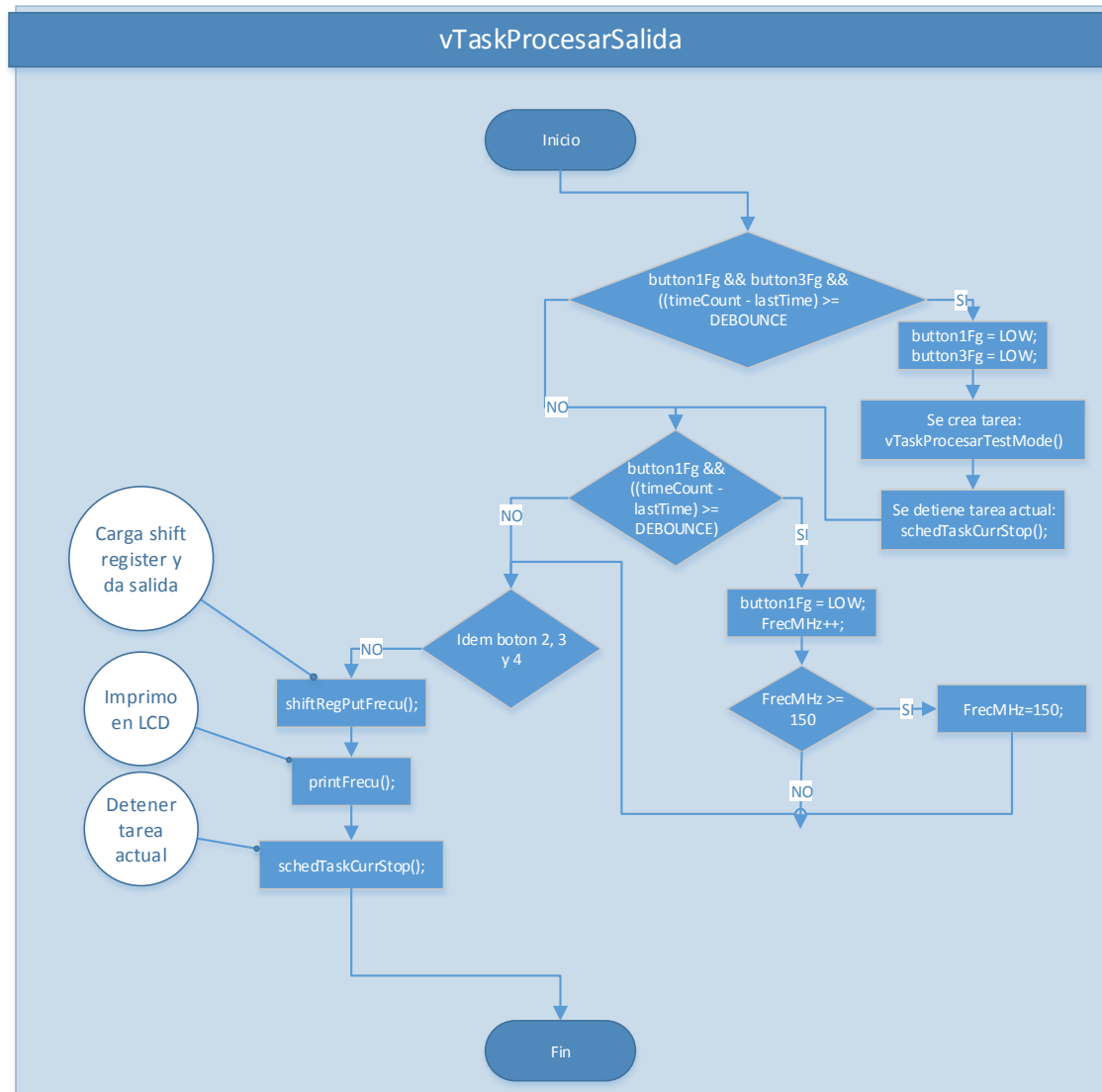
shiftReg.h: Biblioteca para el manejo de los registros de desplazamientos 74595

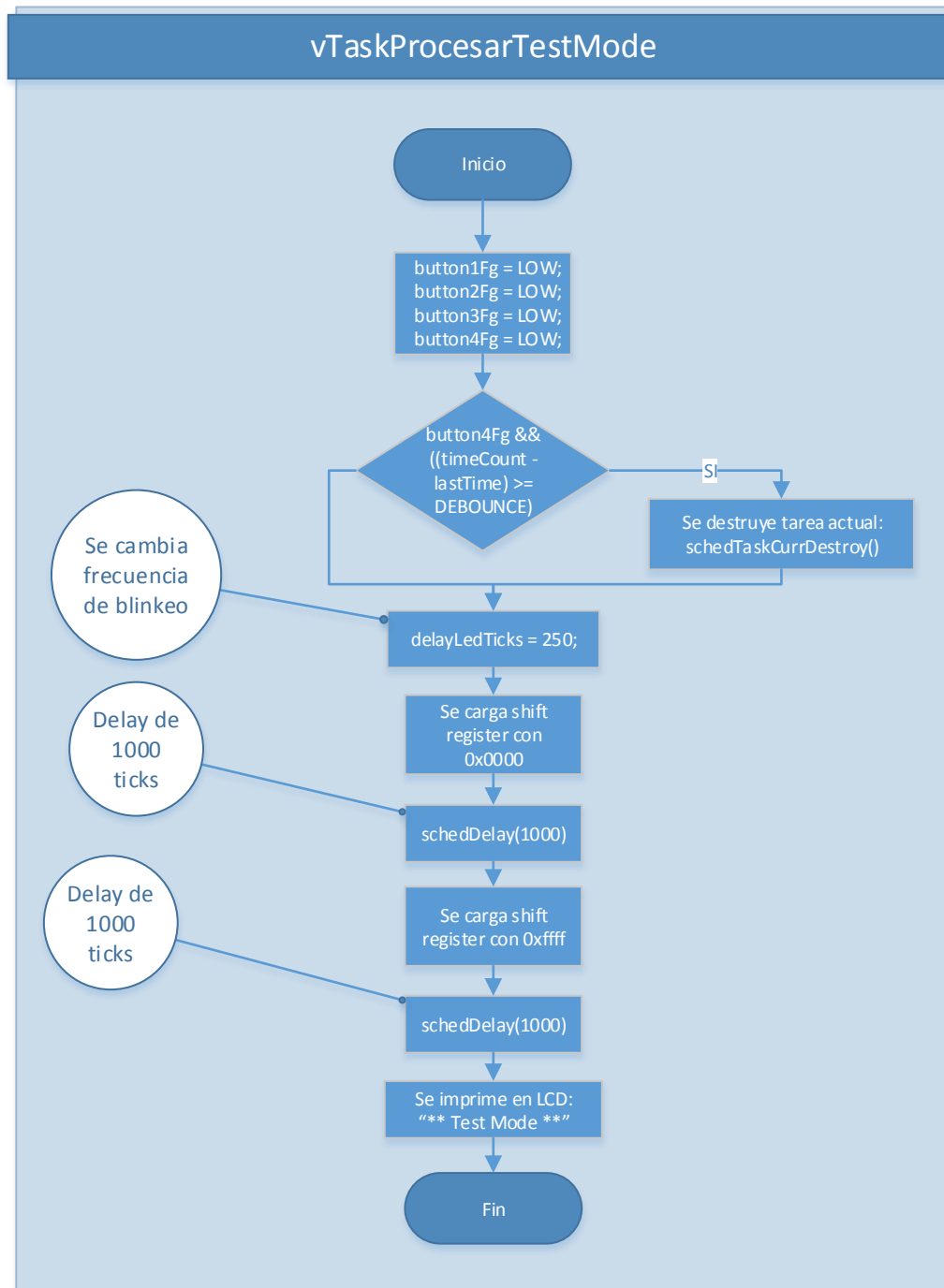
buttons.h: Biblioteca para el manejo de teclado de 4 teclas.

ControlRemVHF_cfg.h: Biblioteca de definiciones de aplicación para el control remoto.

Diagrama de Flujo principal:







3.4.5 Diseño de gabinete

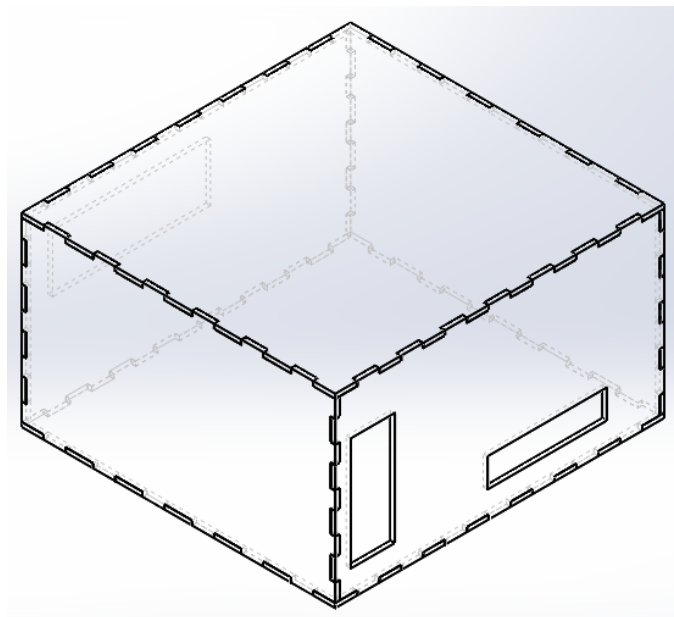
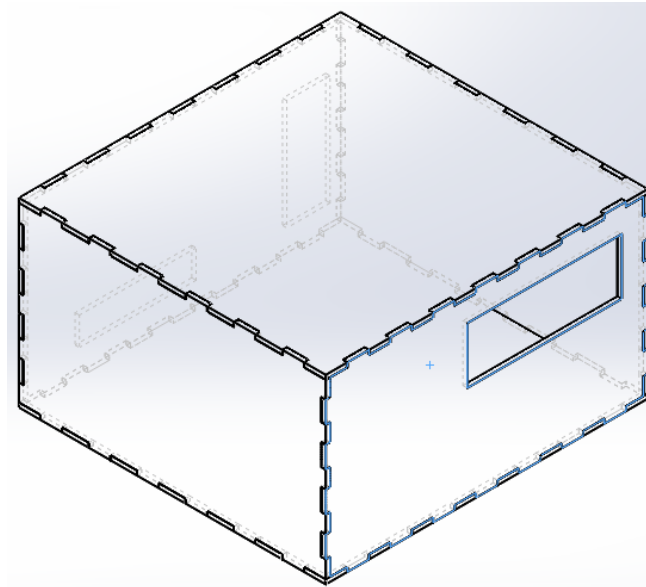
Fotos de Gabinete en SolidWorks de vista frontal y posterior



INSTITUTO UNIVERSITARIO AERONAUTICO

TRABAJO FINAL : Control Remoto para transceptor VHF 20A

Página 24 de 55



Planos constructivos del gabinete

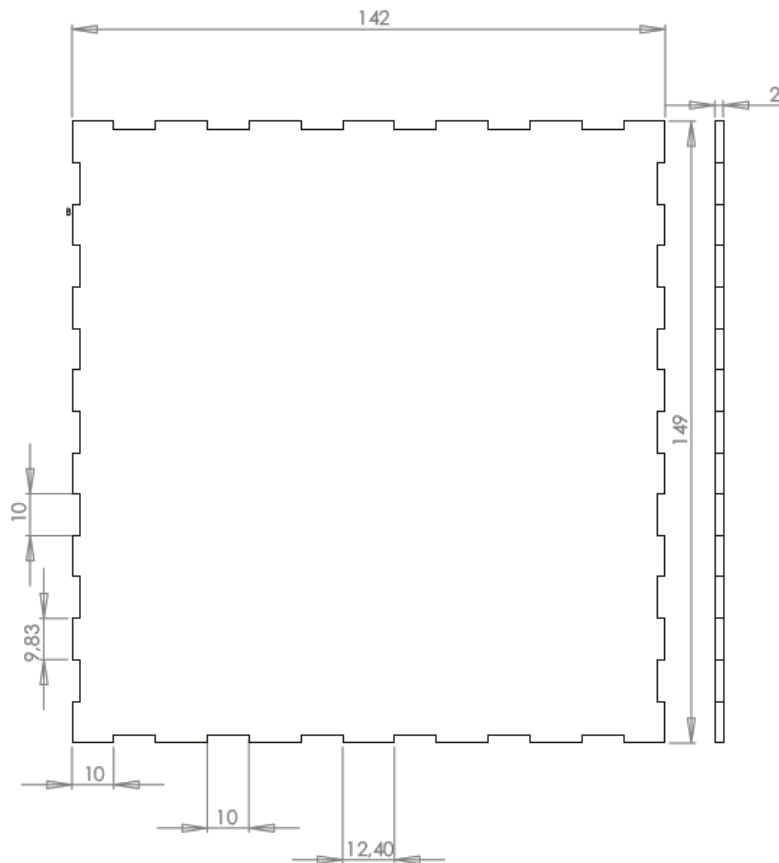
Tapa base y tapa techo



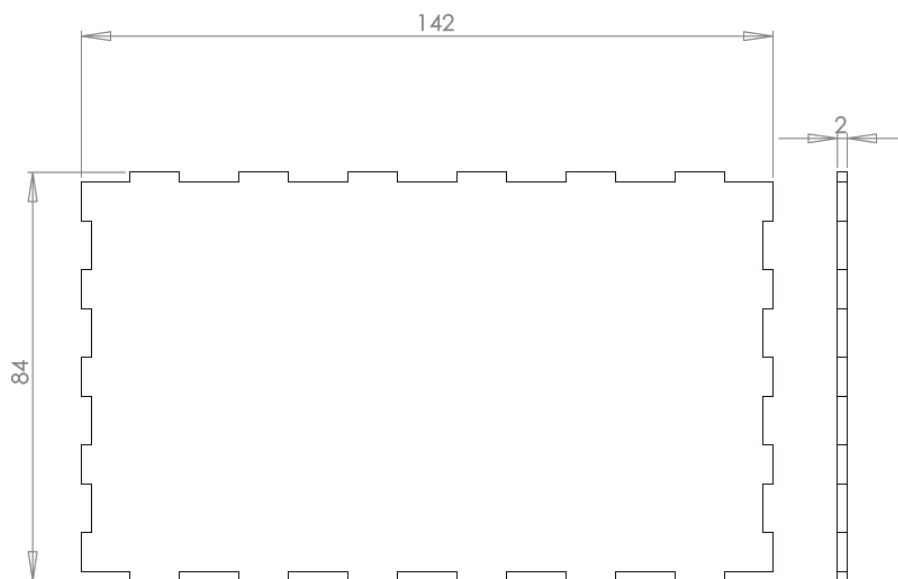
INSTITUTO UNIVERSITARIO AERONAUTICO

TRABAJO FINAL : Control Remoto para transceptor VHF 20A

Página 25 de 55



Tapa Laterales X2



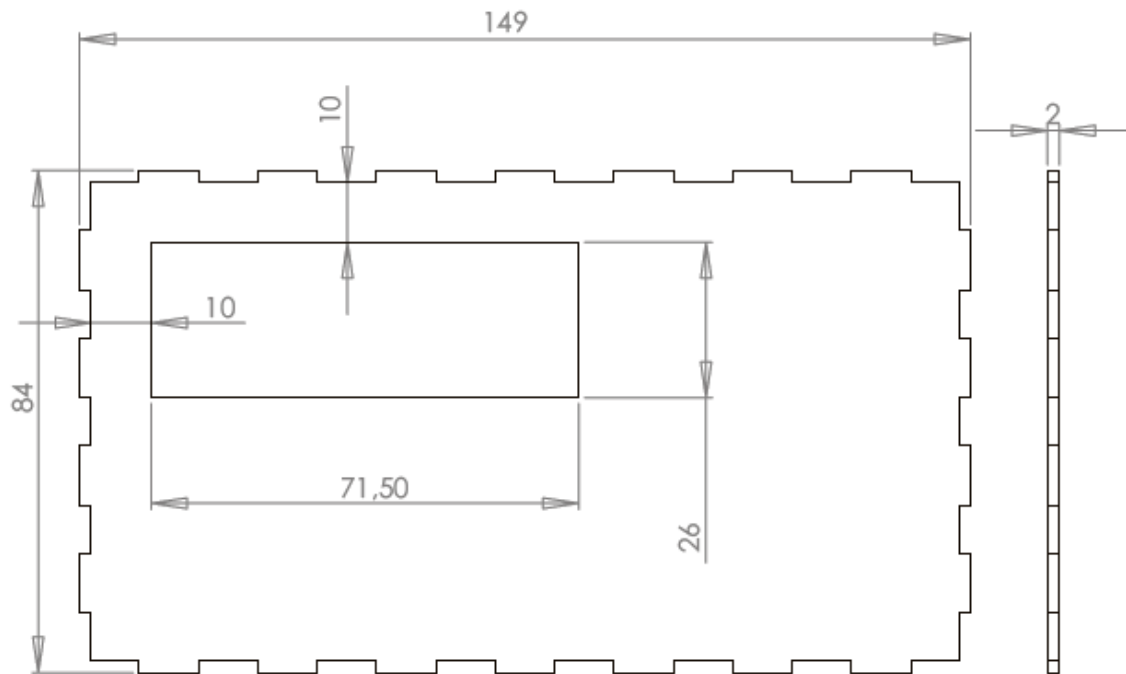
Tapa de Frente



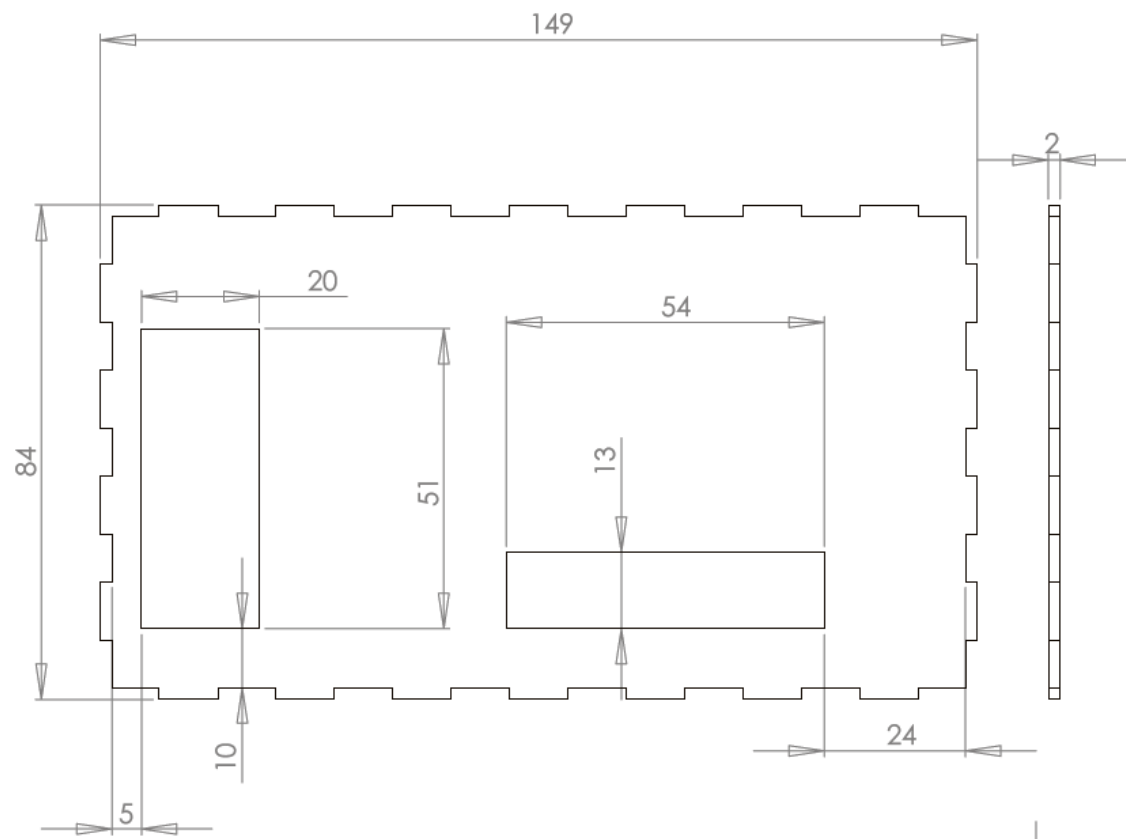
INSTITUTO UNIVERSITARIO AERONAUTICO

TRABAJO FINAL : Control Remoto para transceptor VHF 20A

Página 26 de 55



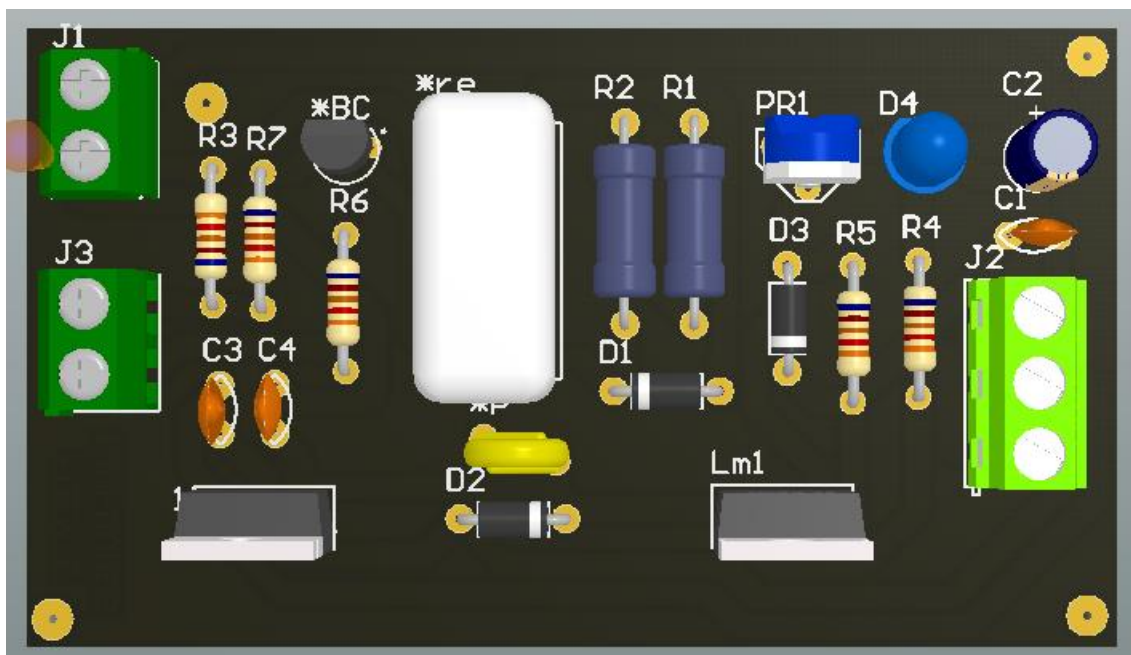
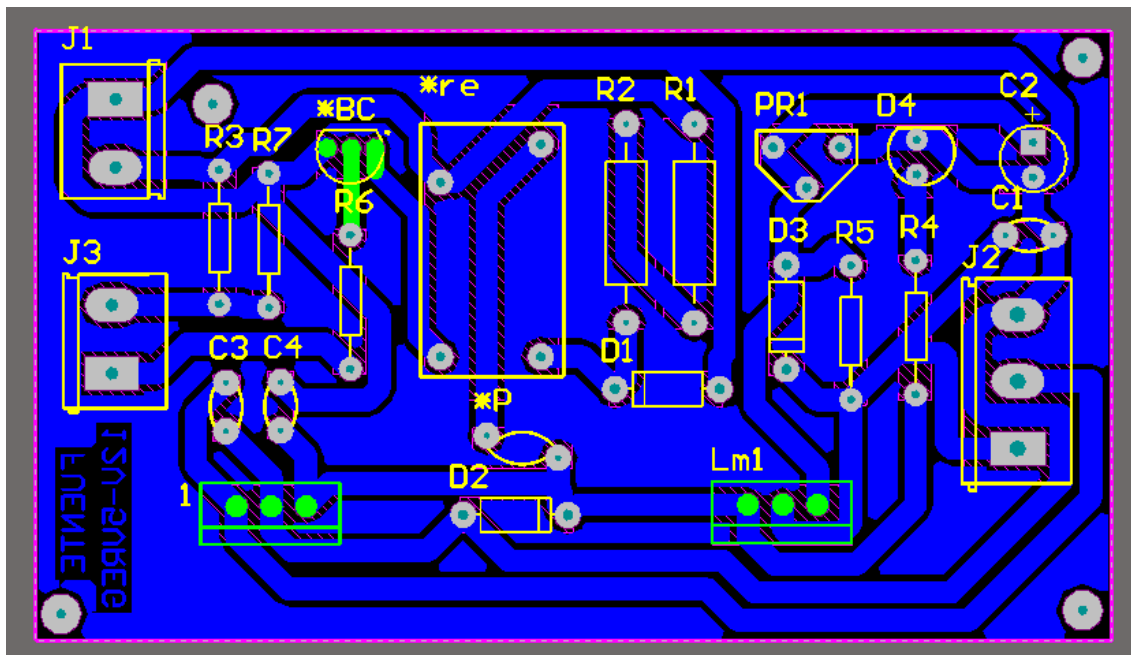
Tapa Trasera



4. RESULTADOS

4.1 Módulo – Fuente de alimentación

A continuación se muestra la materialización de los circuitos a implementar, los cuales fueron realizados utilizando Altium Designer Release 10.





INSTITUTO UNIVERSITARIO AERONAUTICO

TRABAJO FINAL : Control Remoto para transceptor VHF 20A

Página 28 de 55

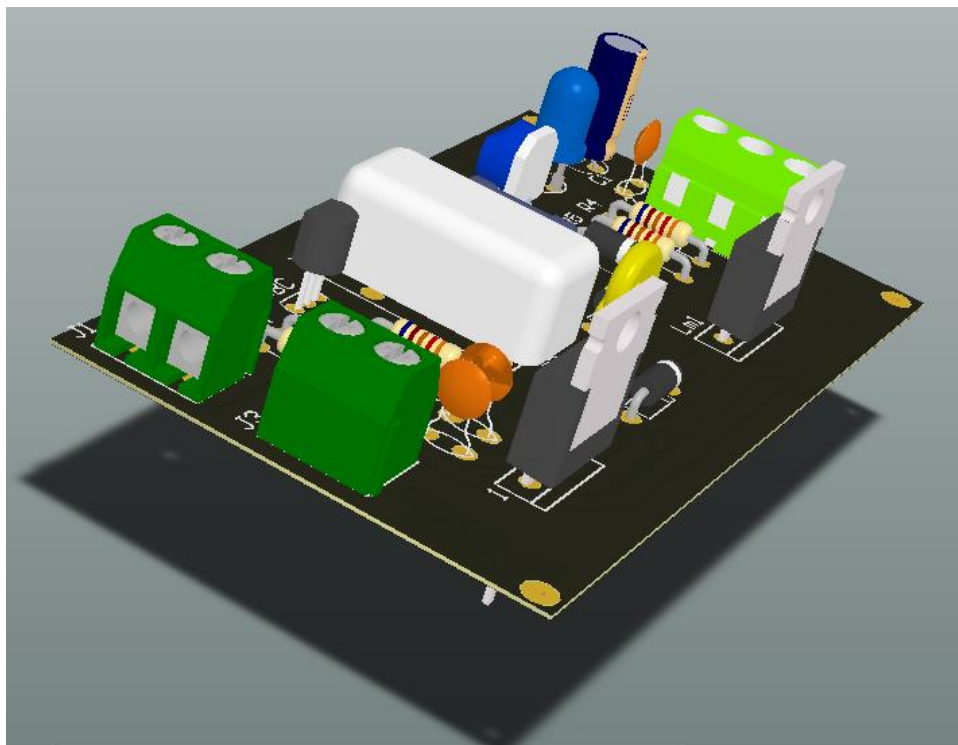
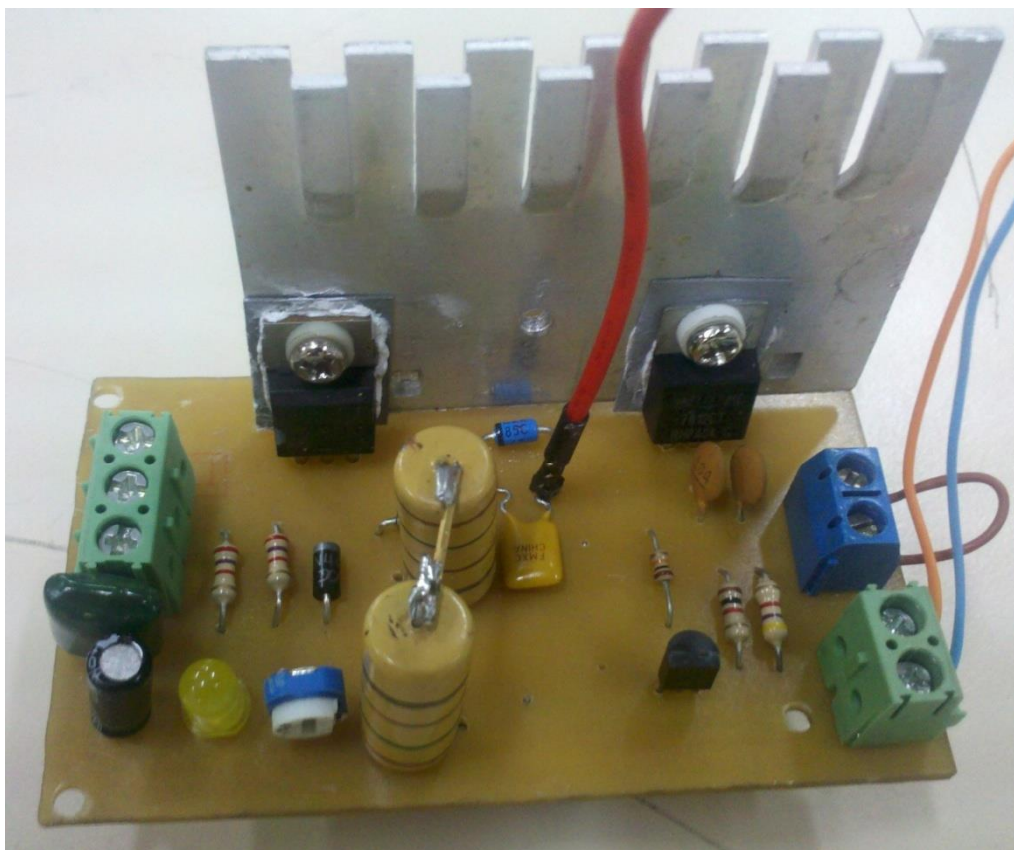


Foto real de Fuente

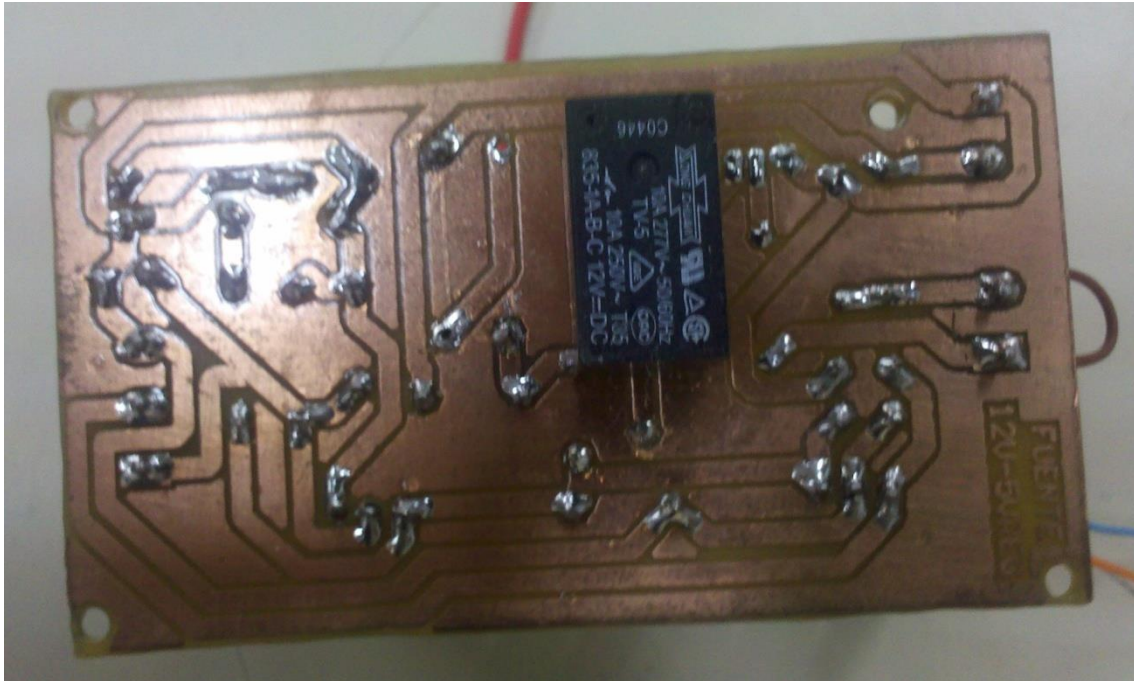


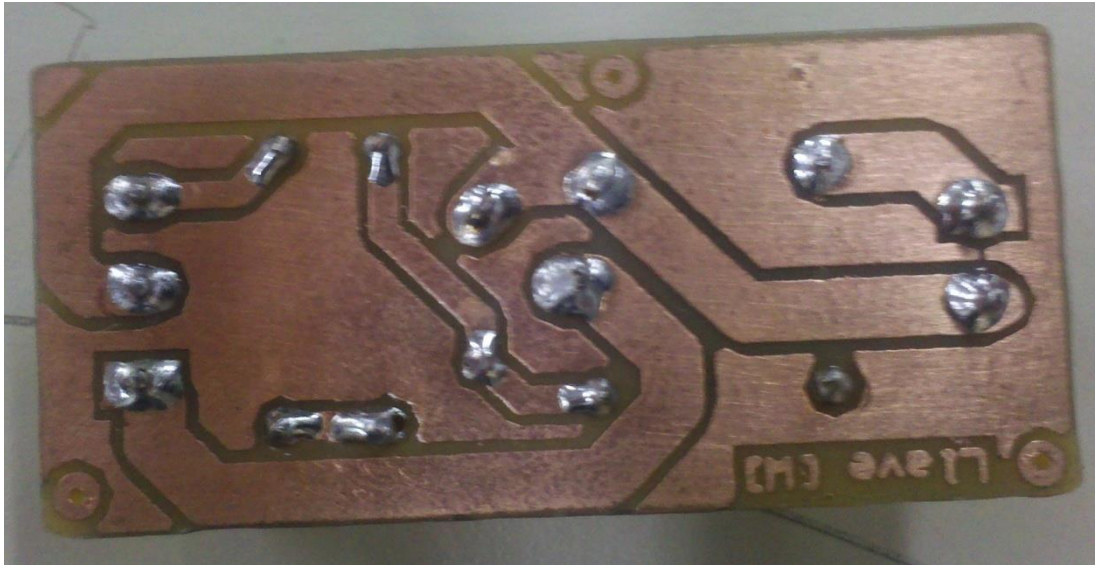


INSTITUTO UNIVERSITARIO AERONAUTICO

TRABAJO FINAL : Control Remoto para transceptor VHF 20A

Página 29 de 55





4.2 Módulo – Analógico I/O

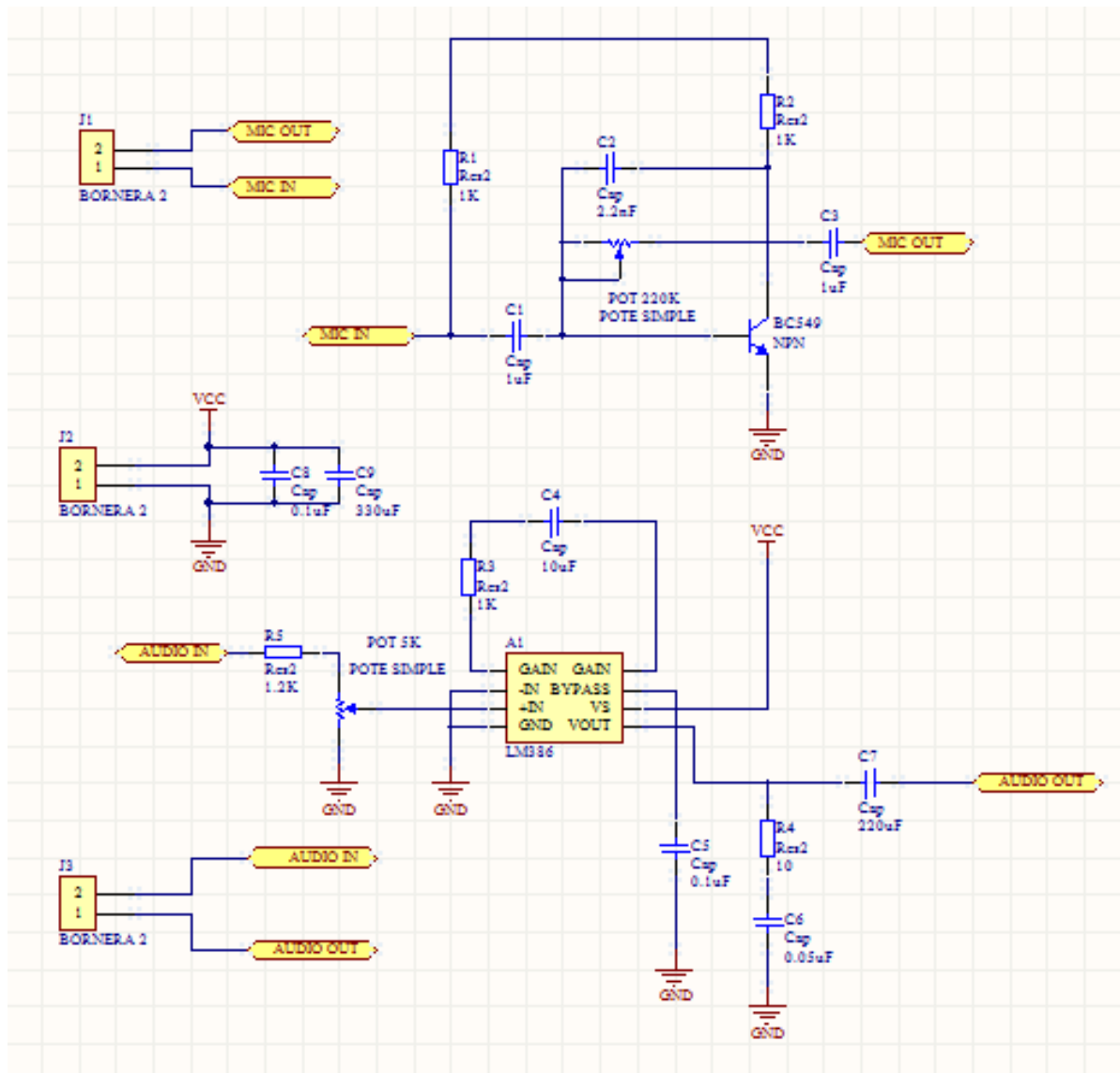
A continuación se muestra la materialización de los circuitos a implementar, los cuales fueron realizados utilizando Altium Designer Release 10.



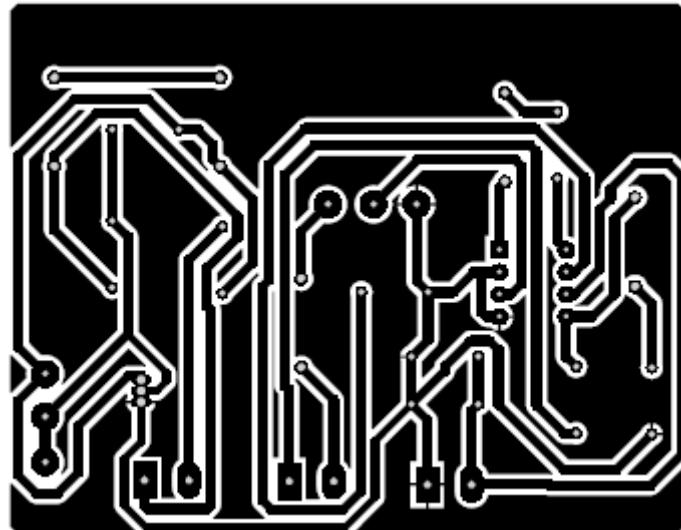
INSTITUTO UNIVERSITARIO AERONAUTICO

TRABAJO FINAL : Control Remoto para transceptor VHF 20A

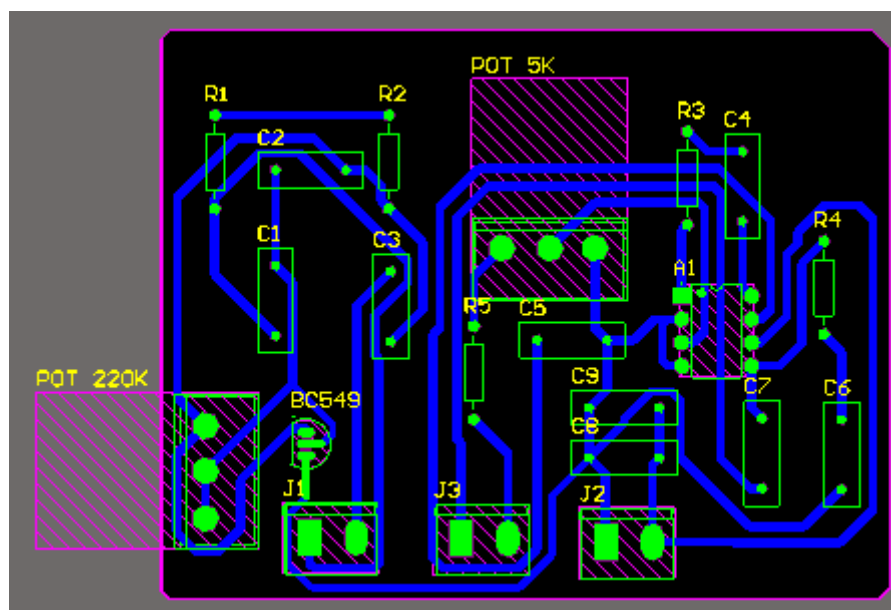
Página 31 de 55



En la Figura se ve el PCB a realizar en Altium.



En la Figura se presenta la distribución de los componentes sobre el PCB.



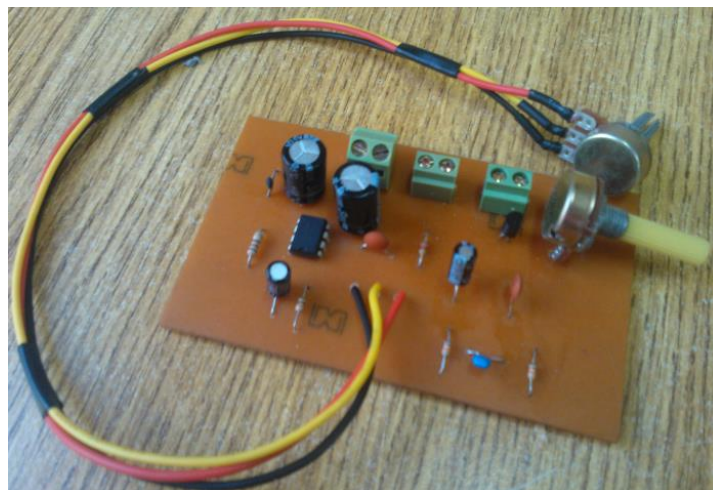
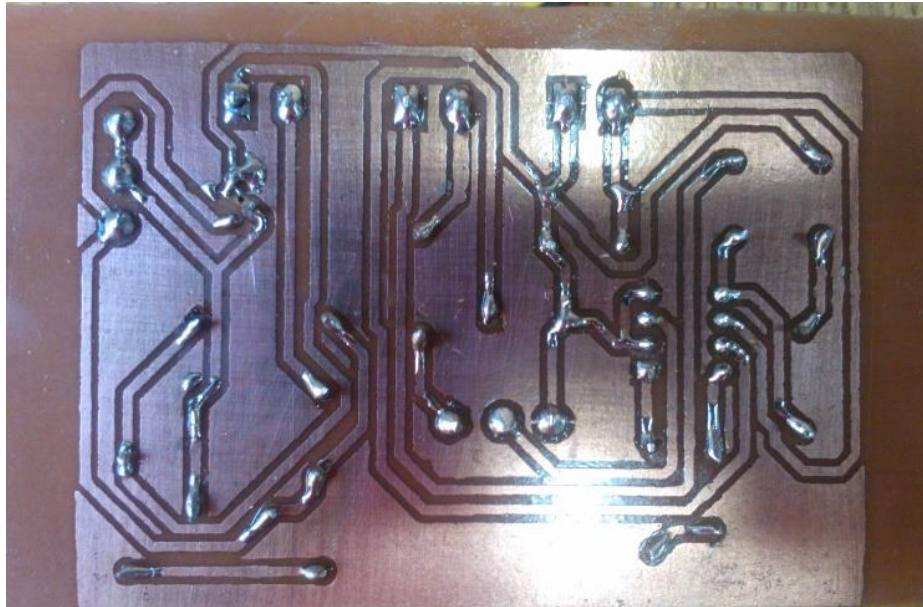
Por último en la Figura se ve la implementación final del circuito.



INSTITUTO UNIVERSITARIO AERONAUTICO

TRABAJO FINAL : Control Remoto para transceptor VHF 20A

Página 33 de 55



4.3 Módulo – Digital I/O



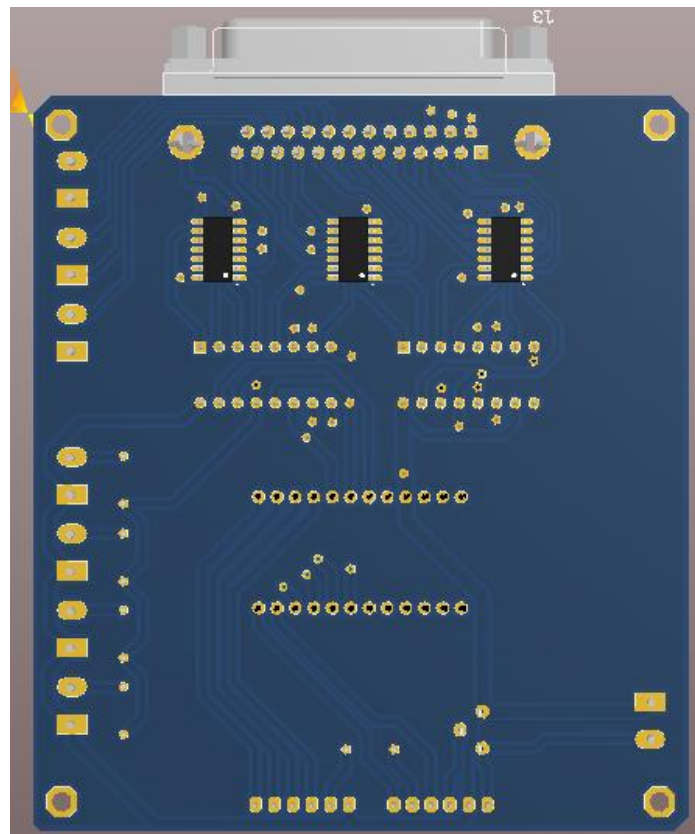
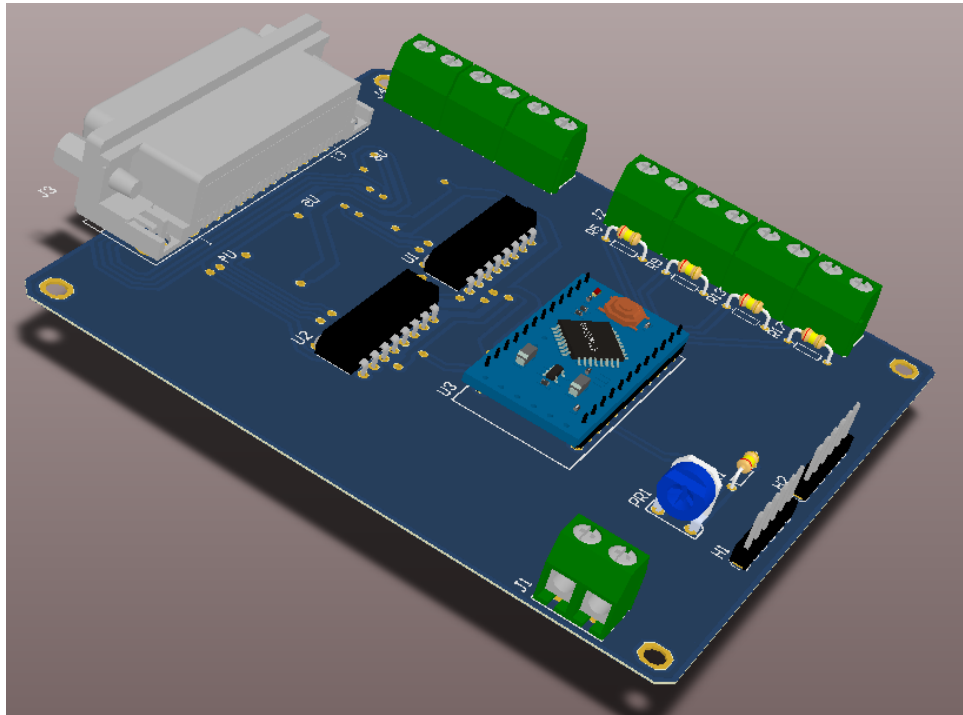


INSTITUTO UNIVERSITARIO AERONAUTICO

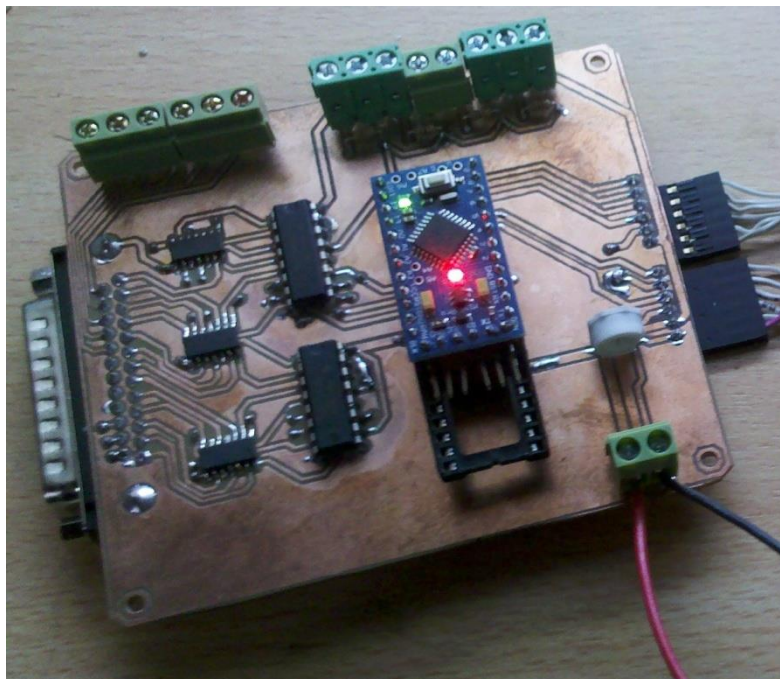
TRABAJO FINAL : Control Remoto para transceptor VHF 20A

Página 35 de 55

Captura de 3D con módulo Arduino Mini Pro

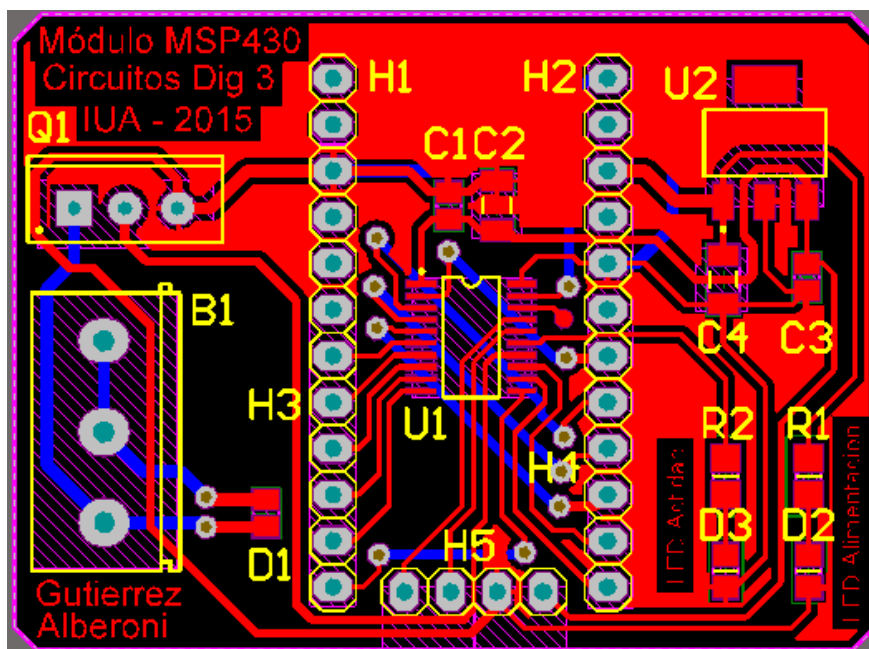


Fotos de Placa terminada con Arduino Mini Pro

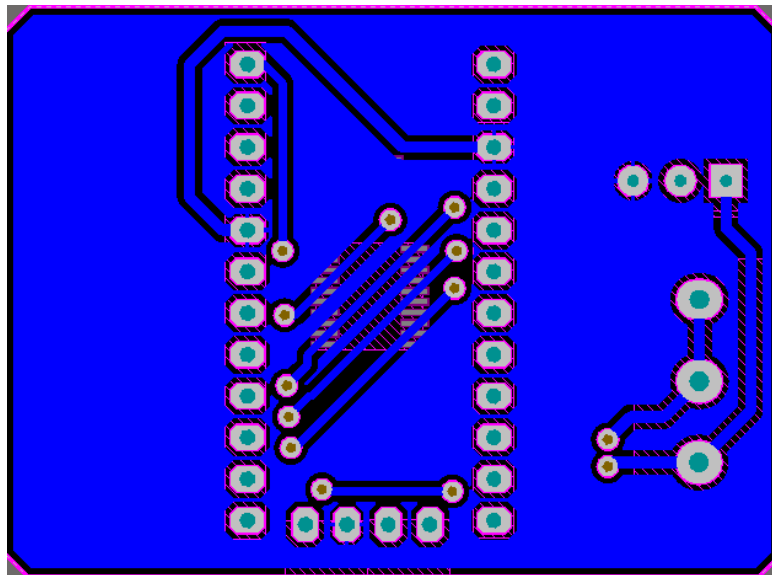


4.4 Módulo MSP430

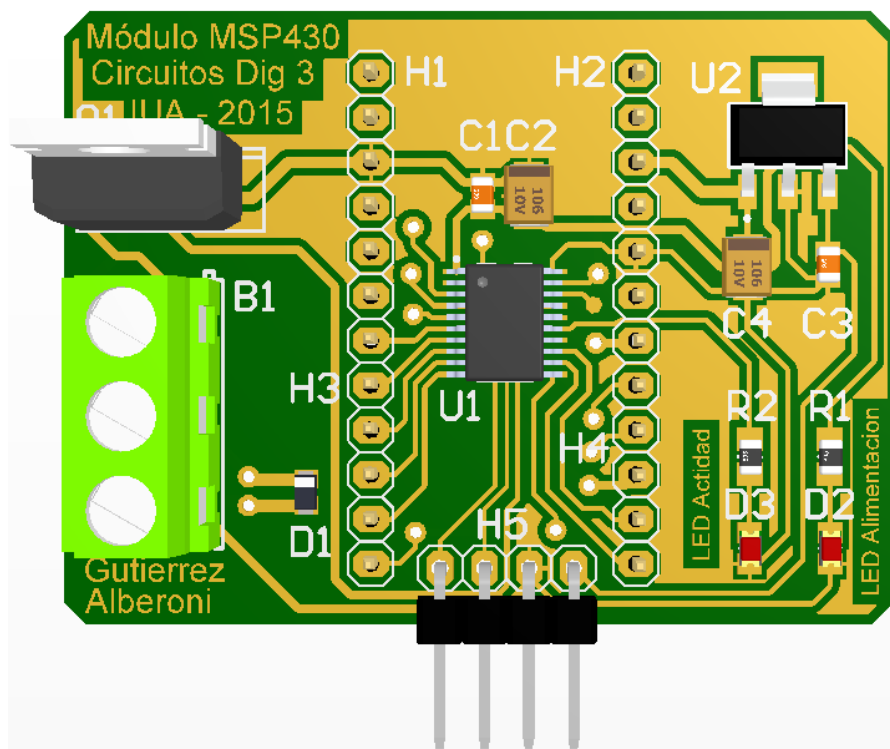
PCB TOP



PCB BOTTON



3D PCB



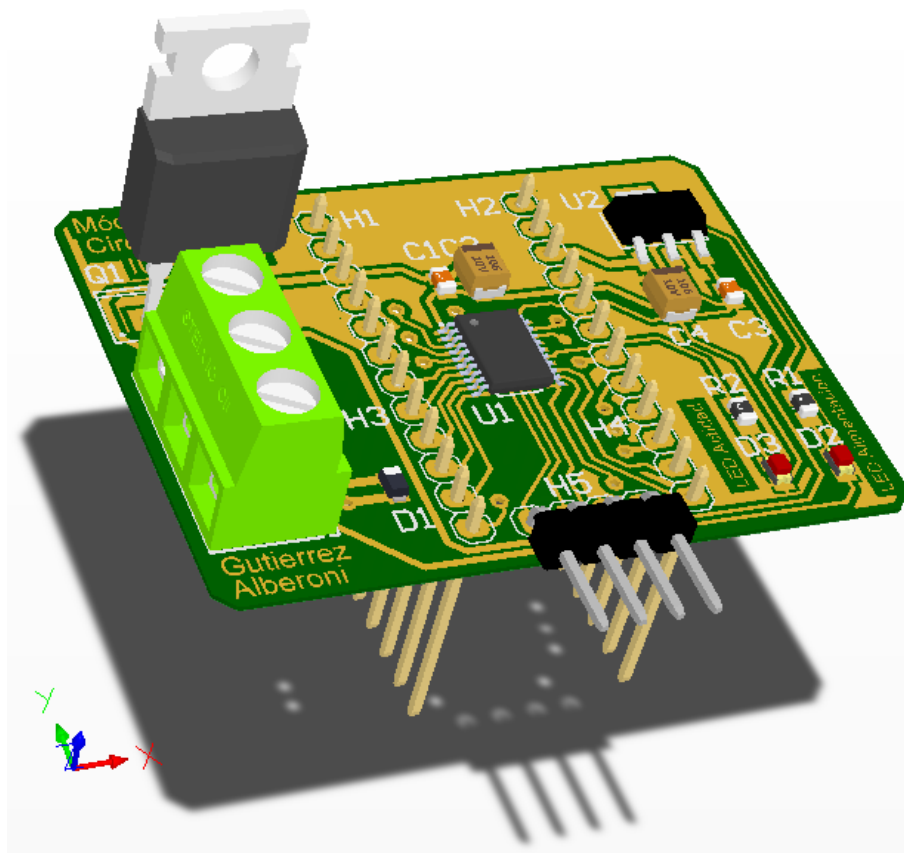
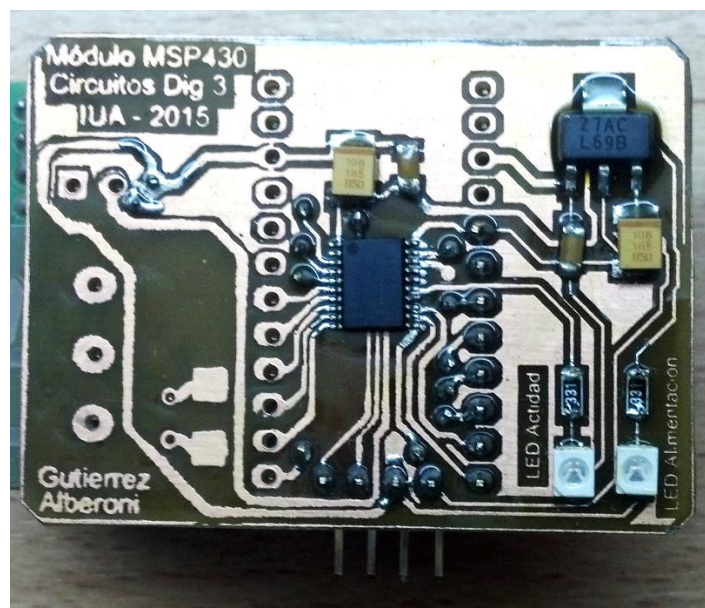


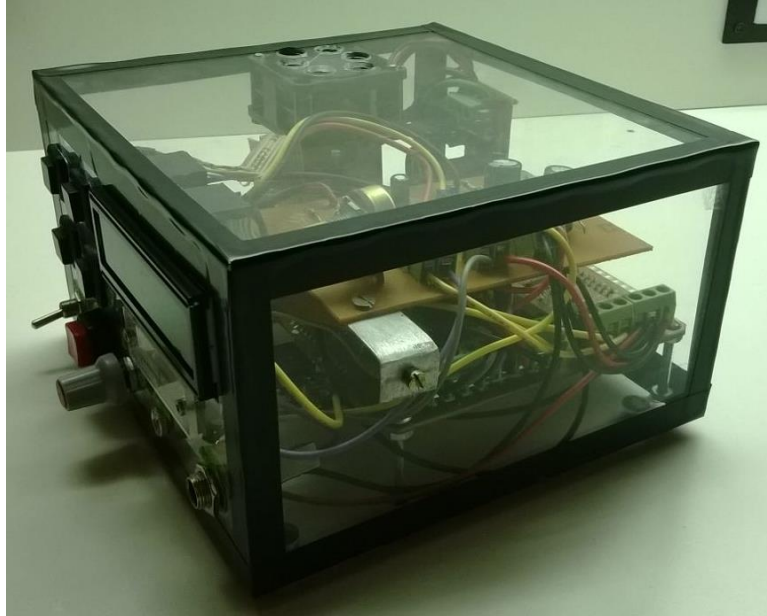
Foto Placa terminada



Fotos de Placa terminada con Msp430g2553



4.5 Integración de módulos y gabinete

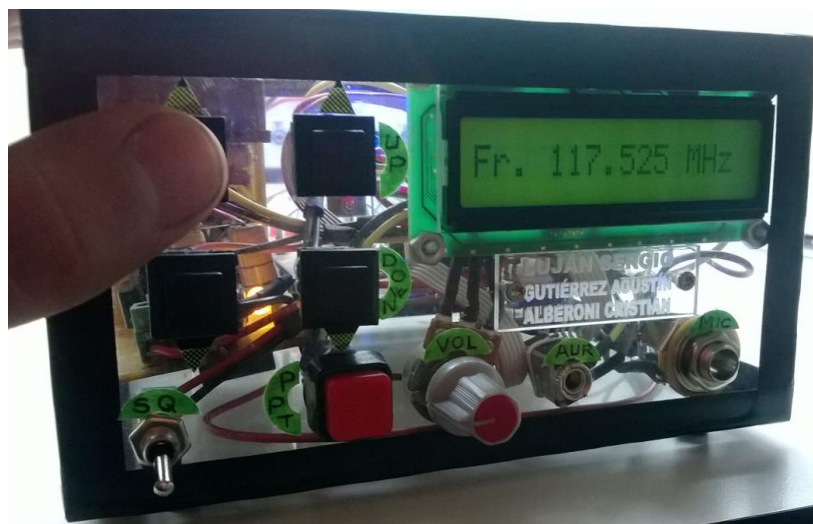




INSTITUTO UNIVERSITARIO AERONAUTICO

TRABAJO FINAL : Control Remoto para transceptor VHF 20A

Página 40 de 55





5. CONCLUSIONES

Como resultado del diseño y desarrollo se obtuvo un prototipo experimental funcional de lo solicitado que incorpora las especificaciones dadas.

Durante el proceso de diseño se dedicó la mayor cantidad de tiempo a la diagramación de los flujogramas del firmware y los esquemáticos generales de manera de poder tener un sólido punto de partida para el desarrollo del prototipo. Obteniendo de esta forma, una idea general de trabajo de un proyecto de este tipo, abarcando la mayor cantidad de etapas del diseño y utilizando la mayor cantidad de herramientas de software y hardware que se disponen.



6. REFERENCIAS

- [1] "Collins VHF-20A/20B VHF Transceiver " Instruction book – 523-0765213-10511A
- [2] "Datasheet conector audio" <http://www.cui.com/product/resource/sj5-43502pm.pdf>
- [3] "MSP430G2x53, MSP430G2x13 Mixed Signal Microcontroller (Rev. J) " <http://www.ti.com/lit/gpn/msp430g2553>
- [4] "MSP430x2xx Family User's Guide (Rev. J)" <http://www.ti.com/lit/pdf/slau144>
- [5] "Datasheet 74HC595" http://www.nxp.com/documents/data_sheet/74HC_HCT595.pdf
- [6] "SN74LVC07A Hex Buffer/Driver With Open-Drain Outputs (Rev. U) <http://www.ti.com/lit/gpn/sn74lvc07a>
- [7] "LMOS source code" Ing. Marcelo Lorenzati http://www.sistemasembebidos.com.ar/cms/index.php?option=com_content&view=article&id=63:mini-scheduler&catid=36:programacion&Itemid=41
(13/04/2015)
- [8]



INSTITUTO UNIVERSITARIO AERONAUTICO

TRABAJO FINAL : Control Remoto para transceptor VHF 20A

Página 43 de 55

7. ANEXO 1 – Firmware Msp430g2553

El firmware completo del proyecto, junto con informes y hardware se encuentran disponibles en:

<https://github.com/calberoni/RemoteControl-VHF-20A.git>



8. ANEXO 2 - Firmware Arduino

```
/*  
 * control_VHF_20A.ino  
 *  
 * Copyright 2014 Cristian Alberoni <calberoni873@alumnos.iua.edu.ar>  
 *  
 * This program is free software; you can redistribute it and/or modify  
 * it under the terms of the GNU General Public License as published by  
 * the Free Software Foundation; either version 2 of the License, or  
 * (at your option) any later version.  
 *  
 * This program is distributed in the hope that it will be useful,  
 * but WITHOUT ANY WARRANTY; without even the implied warranty of  
 * MERCHANTABILITY or FITNESS FOR A PARTICULAR PURPOSE. See the  
 * GNU General Public License for more details.  
 *  
 * You should have received a copy of the GNU General Public License  
 * along with this program; if not, write to the Free Software  
 * Foundation, Inc., 51 Franklin Street, Fifth Floor, Boston,  
 * MA 02110-1301, USA.  
 */  
  
#include <LiquidCrystal.h>  
//definiciones Pines para LCD  
#define RS 8  
#define ENABLE 9  
#define DB4 10  
#define DB5 11  
#define DB6 12  
#define DB7 13  
//definiciones Pines para Botones  
#define BTN1 4  
#define BTN2 5  
#define BTN3 6  
#define BTN4 7  
//definiciones Pines para 74hc595  
#define CLOCK 10 //Frecuencia 100Hz  
#define PIN_CLK 14  
#define PIN_LTCH 15  
#define PIN_DATA 16  
#define PIN_OE 12
```



INSTITUTO UNIVERSITARIO AERONAUTICO

TRABAJO FINAL : Control Remoto para transceptor VHF 20A

Página 45 de 55

```
#define PIN_RST 11

int frecu = 116;
int decFrec = 525;

int cont =0;

int boton1_flag = 0;
int boton2_flag = 0;
int boton3_flag = 0;
int boton4_flag = 0;

int decM;
int uniM;
int cienK;
int decK;
int uniK;
int deK;

/*
Configuracion
*/

int decMegas[]={
    0x03,0x05,0x06,0x0A,0x0C,0xFF,0x00,0x0E};
int uniMegas[]={
    0x12,0x03,0x05,0x06,0x0A,0x0C,0x14,0x18,0x09,0x11,0xFF,0x00,0xFE}; //Se agrega 0xFF --
> prende todo, Se agrega 0x00 --> prende todo
int cientosKilos[]={
    0x12,0x03,0x05,0x06,0x0A,0x0C,0x14,0x18,0x09,0x11,0xFF,0x00,0xFE}; //Se agrega 0xFF --
> prende todo, Se agrega 0x00 --> prende todo
int decenKilos[]={
    0x00,0x01,0x03,0x02};

int salida[15] = {
    0};

/* int decMeg = decMegas[2];
int uniMeg = uniMegas[5];
int cienKil = cientosKilos[2];
int decKil = decenKilos[1];*/
int decMeg;
int uniMeg;
int cienKil;
```



INSTITUTO UNIVERSITARIO AERONAUTICO

TRABAJO FINAL : Control Remoto para transceptor VHF 20A

Página 46 de 55

```
int decKil;

int button1State;
int button2State;
int button3State;
int button4State;

int lastButton1State = LOW;
int lastButton2State = LOW;
int lastButton3State = LOW;
int lastButton4State = LOW;

long lastDebounceTime = 0;
long debounceDelay = 100;

// initialize the library with the numbers of the interface pins
LiquidCrystal lcd( RS, ENABLE, DB4, DB5, DB6, DB7);

void setup(){
  Serial.begin(9600);
  pinMode(BTN1, INPUT);
  pinMode(BTN2, INPUT);
  pinMode(BTN3, INPUT);
  pinMode(BTN4, INPUT);

  pinMode(PIN_LTCH, OUTPUT);
  pinMode(PIN_CLK, OUTPUT);
  pinMode(PIN_DATA, OUTPUT);
  pinMode(PIN_OE, OUTPUT);
  pinMode(PIN_RST, OUTPUT);

  lcd.begin(16, 2);
  lcd.print("Control ");
  lcd.setCursor(0,1);
  lcd.print("VHF 20A");
  // Se realiza un test de prueba de interfase salida
  test();

  delay(2000);

  lcd.setCursor(0,0);
  lcd.print("Fr. ");
  lcd.print(frecu);
```



INSTITUTO UNIVERSITARIO AERONAUTICO

TRABAJO FINAL : Control Remoto para transceptor VHF 20A

Página 47 de 55

```
lcd.print(".");
lcd.setCursor(0,1);
lcd.print(decFrec);
lcd.print(" MHz");
port_write();
}

void loop(){
  check_botones();
  actualizar_lcd();
}

void check_botones(void){
  // read the state of the switch into a local variable:
  int bot1 = digitalRead(BTN1);
  int bot2 = digitalRead(BTN2);
  int bot3 = digitalRead(BTN3);
  int bot4 = digitalRead(BTN4);

  if (bot1 != lastButton1State) {
    lastDebounceTime = millis();
  }
  if (bot2 != lastButton2State) {
    lastDebounceTime = millis();
  }
  if (bot3 != lastButton3State) {
    lastDebounceTime = millis();
  }
  if (bot4 != lastButton4State) {
    lastDebounceTime = millis();
  }

  if ((millis() - lastDebounceTime) > debounceDelay) {
    if (bot1 != button1State) {
      button1State = bot1;
      if (button1State == HIGH) {
        boton1_flag=1;
      }
    }
    else{
      button1State = 0;
    }
    if (bot2 != button2State) {
```



INSTITUTO UNIVERSITARIO AERONAUTICO

TRABAJO FINAL : Control Remoto para transceptor VHF 20A

Página 48 de 55

```
button2State = bot2;
if (button2State == HIGH) {
    boton2_flag=1;
}
}
else{
    button2State = 0;
}
if (bot3 != button3State) {
    button3State = bot3;
    if (button3State == HIGH) {
        boton3_flag=1;
    }
}
else{
    button3State = 0;
}

if (bot4 != button4State) {
    button4State = bot4;
    if (button4State == HIGH) {
        boton4_flag=1;
    }
}
else {
    button4State = 0;
}
}
else{
    cont=0;
}

lastButton1State = bot1;
lastButton2State = bot2;
lastButton3State = bot3;
lastButton4State = bot4;
}

void actualizar_lcd(void){
    if(boton1_flag){ //Boton activado
        cont++;
        Serial.print(cont);
        Serial.print("\n");
    }
```



INSTITUTO UNIVERSITARIO AERONAUTICO

TRABAJO FINAL : Control Remoto para transceptor VHF 20A

Página 49 de 55

```
if (cont >= 5){
    frecu = frecu +5;
}
else {
    frecu++;
}

if (frecu >= 151){
    frecu = 151;
}
//actualizo LCD
//Desarmo el numero
uniM = frecu%10;
decM = (frecu/10)%10;

lcd.setCursor(0,0);
lcd.print("Fr. ");
lcd.print(frecu);
lcd.print(".");

decMeg = decMegas[decM - 1];
uniMeg = uniMegas[uniM];
cienKil = cientosKilos[cienK];
decKil = decenKilos[decK];

port_write();
boton1_flag = 0;
}

if(boton2_flag){ //Boton activado
    cont++;

    if (cont >= 5){
        frecu = frecu-5;
    }
    else {
        frecu--;
    }

    if (frecu <= 116){
        frecu = 116;
    }

    //actualizo LCD
```



INSTITUTO UNIVERSITARIO AERONAUTICO

TRABAJO FINAL : Control Remoto para transceptor VHF 20A

Página 50 de 55

```
uniM = frecu%10;
decM = (frecu/10)%10;

lcd.setCursor(0,0);
lcd.print("Fr. ");
lcd.print(frecu);
lcd.print(".");

decMeg = decMegas[decM - 1];
uniMeg = uniMegas[uniM];
cienKil = cientosKilos[cienK];
decKil = decenKilos[decK];

port_write();
boton2_flag = 0;
}
if(boton3_flag){ //Boton activado
    cont++;

    if (cont >= 5){
        decFrec = decFrec +100;
    }
    else {
        decFrec = decFrec + 25;
    }

    if(decFrec >= 1000 ){
        decFrec = 0;
    }
    cienK = (decFrec/100)%10;

    uniK = decFrec%10;
    deK = (decFrec/10)%10;

    if(uniK==0 && deK==0){
        decK = 0;
    }
    if(uniK==5 && deK==2){
        decK = 1;
    }
    if(uniK==0 && deK==5){
        decK = 2;
    }
    if(uniK==5 && deK==7){
```




INSTITUTO UNIVERSITARIO AERONAUTICO

TRABAJO FINAL : Control Remoto para transceptor VHF 20A

Página 51 de 55

```
    decK = 3;
}

decMeg = decMegas[decM - 1];
uniMeg = uniMegas[uniM];
cienKil = cientosKilos[cienK];
decKil = decenKilos[decK];

lcd.setCursor(0,1);
lcd.print(decFrec);
lcd.print(" MHz ");
port_write();
boton3_flag = 0;
}
if(boton4_flag){ //Boton activado
    cont++;

    if (cont >= 5){
        decFrec = decFrec - 100;
    }
    else {
        decFrec = decFrec - 25;
    }

    if(decFrec < 0 ){
        decFrec = 975;
    }
    cienK = (decFrec/100)%10;

    uniK = decFrec%10;
    deK = (decFrec/10)%10;

    if(uniK==0 && deK==0){
        decK = 0;
    }
    if(uniK==5 && deK==2){
        decK = 1;
    }
    if(uniK==0 && deK==5){
        decK = 2;
    }
    if(uniK==5 && deK==7){
        decK = 3;
    }
}
```



INSTITUTO UNIVERSITARIO AERONAUTICO

TRABAJO FINAL : Control Remoto para transceptor VHF 20A

Página 52 de 55

```
decMeg = decMegas[decM - 1];
uniMeg = uniMegas[uniM];
cienKil = cientosKilos[cienK];
decKil = decenKilos[decK];
lcd.setCursor(0,1);
lcd.print(decFrec);
lcd.print(" MHz ");
port_write();
boton4_flag = 0;
}
}
```

```
void port_write(void){
```

```
digitalWrite(PIN_OE,HIGH);
digitalWrite(PIN_LTCH, LOW);
digitalWrite(PIN_CLK, LOW);
digitalWrite(PIN_RST,LOW);
delay(100);
```

```
digitalWrite(PIN_RST,HIGH);
digitalWrite(PIN_OE,LOW);
```

```
//Armo la trama
```

```
for(int i=0;i<=15;i++){
    if(i==0){
        salida[7] = decMeg & 0x01;
        decMeg = decMeg >>1;
    }
    if(i>0 && i<=3) {
        salida[i-1] = decMeg & 0x01;
        decMeg = decMeg >>1;
    }
    if(i>3 && i<=7) {
        salida[i-1] = uniMeg & 0x01;
        uniMeg = uniMeg >>1;
    }
    if(i==8){
        salida[15] = uniMeg & 0x01;
        uniMeg = uniMeg >>1;
    }
    if(i>8 && i<=13){
        salida[i-1] = cienKil & 0x01;
        cienKil = cienKil >>1;
    }
}
```



INSTITUTO UNIVERSITARIO AERONAUTICO

TRABAJO FINAL : Control Remoto para transceptor VHF 20A

Página 53 de 55

```
}
if(i>13 && i<=15){
    salida[i-1] = decKil & 0x01;
    decKil = decKil >>1;
}
}

//Mando la trama

for(int j=0; j<=15; j++){
    digitalWrite(PIN_DATA,salida[j]);
    digitalWrite(PIN_CLK,HIGH);
    delay(CLOCK);
    digitalWrite(PIN_CLK,LOW);
    delay(CLOCK);
}
digitalWrite(PIN_LTCH,HIGH);
delay(CLOCK);
digitalWrite(PIN_CLK,LOW);
}

void test(void){

    // Todo prendido
    decMeg = decMegas[6];
    uniMeg = uniMegas[11];
    cienKil = cientosKilos[11];
    decKil = decenKilos[0];
    port_write();
    delay(3000);
    //Todo apagado

    decMeg = decMegas[5];
    uniMeg = uniMegas[11];
    cienKil = cientosKilos[11];
    decKil = decenKilos[2];
    port_write();
    delay(3000);

    decMeg = decMegas[5];
    uniMeg = uniMegas[10];
    cienKil = cientosKilos[11];
    decKil = decenKilos[2];
    port_write();
```



INSTITUTO UNIVERSITARIO AERONAUTICO

TRABAJO FINAL : Control Remoto para transceptor VHF 20A

Página 54 de 55

```
delay(3000);

decMeg = decMegas[5];
uniMeg = uniMegas[10];
cienKil = cientosKilos[10];
decKil = decenKilos[2];
port_write();
delay(3000);

decMeg = decMegas[5];
uniMeg = uniMegas[10];
cienKil = cientosKilos[10];
decKil = decenKilos[0];
port_write();
delay(3000);

decMeg = decMegas[7];
uniMeg = uniMegas[12];
cienKil = cientosKilos[12];
decKil = decenKilos[3];
port_write();
delay(5000);
}

void init_salidas(void){
    uniM = frecu%10;
    decM = (frecu/10)%10;
    decMeg = decMegas[decM - 1];
    uniMeg = uniMegas[uniM];

    cienK = (decFrec/100)%10;

    uniK = decFrec%10;
    deK = (decFrec/10)%10;

    if(uniK==0 && deK==0){
        decK = 0;
    }
    if(uniK==5 && deK==2){
        decK = 1;
    }
    if(uniK==0 && deK==5){
        decK = 2;
    }
}
```



INSTITUTO UNIVERSITARIO AERONAUTICO

TRABAJO FINAL : Control Remoto para transceptor VHF 20A

Página 55 de 55

```
if(uniK==5 && deK==7){  
    decK = 3;  
}
```

```
cienKil = cientosKilos[cienK];  
decKil = decenKilos[decK];  
}
```